

FY6019 Moderne fysikk

Kap. 37 - 44 i Young & Freedman (YF)

37 Relativitetsteori. Dekkes i FY6015.

38, 39 Partikkelfølge - dualisme.

40 Kvantemekanikk. Schrödingerligningen.

41 Atomer.

42 Molekyler. Faste stoffer. Anvendelser.

43 Kjernefysikk. Radioaktivitet.

44 Partikkelfysikk.

Sannsynlig plan :

Samling 1 og 2 : YF 38 - 41

Selvstudium : YF 42 - 43

Orienteringsstoff : YF 44

Vurderingsordning : 100% hjemmeeksamen

"Obligatoriske" øvinger

Kompetanse mål VGS : ②

Bohrs atommodell

Spektrallinjer

Fotoelektrisk effekt

Compton - spredning

Partiklers bølgenatur

Heisenbergs uskarphetsrelasjon

Røntgen, ultralyd, magnetisk resonans

Fisjon, fusjon

Elementærpartikler.

Standardmodellen.

} YF 44

Halvledere. Diode, transistor

} FY 6018

Annen litteratur:

P.C. Hemmer

"Kvantemekanikk"

I. Øverbø

"Tillegg"

J. A. S.

Tavlenotater

}

BB

Innledning til kvantemekanikk

(3)

[YF 38, 39 (37)]

Status, klassisk fysikk ca 1900 :

- Mekanikk. Newtons lover. Galileisk relativitet. [Galilei 1564-1642; Newton 1642-1727]
- Termodynamikk. Statistisk mekanikk.
[W. Thomson (Lord Kelvin) 1824-1907;
L. Boltzmann 1844 - 1906;]
- Elektromagnetisme. Maxwells ligninger.
Lys er bølger. [Gauss, Ampere,
Henry, Faraday, Hertz, Maxwell,]
- Atomer. Materie er partikler.
Elektronet. "Rosinbollemodell."
[J.J. Thomson 1856 - 1940, NP 1906]

NP : Nobelpris i fysikk, f.o.m. 1901

Problemer med klassisk fysikk, og teoretisk utvikling ca 1900 - 1923 : (4)

- Linjespektre : Absorpsjon og emisjon av EM stråling med bestemte bølgelengder.

Eksempler :

Na, $\lambda = 589 \text{ nm}$ (gult) [Melville 1752]

Mørke linjer i solspekteret (pga absorpsjon i atmosfæren) [Wollaston 1802 ; Fraunhofer 1814]

H, Balmerserien, 410, 434, 486 og 656 nm
(= Fraunhofers h, G', F og G)

$$\text{J. Balmer 1885 : } \lambda = B \cdot \frac{n^2}{n^2 - 4} ; n = 3, 4, 5, 6;$$

$$B = 364.5 \text{ nm}$$

N. Bohr 1913, NP 1922 : Bohr-modellen
(mer om den senere)

- Lysfarten (i vakuum) er like stor i alle inertialsystemer, uansett deres relative bevegelse. Galileisk relativitet holder ikke for lys.

(5)

Exp: Michelson & Morley 1887
 ↑
 NP 1907

Teori: A. Einstein 1905, Spesiell relativitetsteori (SR), litt mer om det senere.

- Stråling fra svart legeme :
 EM stråling inn mot legeme absorberes, reflekteres og transmitteres, med andeler a , r og t $\Rightarrow a + r + t = 1$
 Svart legeme : idealisering med $a = 1$
 Ved termisk likevekt (konstant temperatur T) må legemet absorbere og emittere like mye energi $\Rightarrow a = e = 1$; e = emissivitet

(6)

$$j(T) = \int_0^{\infty} I(\nu, T) d\nu = \text{utstrålt energi pr tids- og flateenhet}; \quad \nu = \text{frekvensen}$$

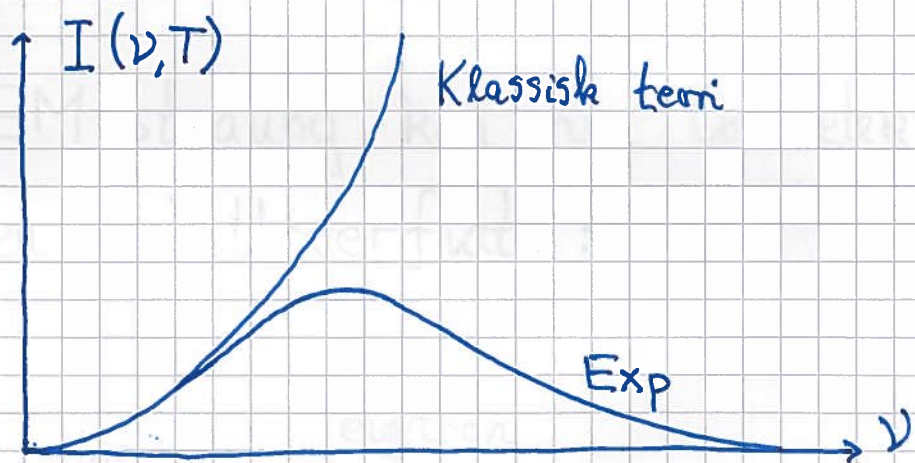
$I(\nu, T) = \text{utstrålt effekt pr flate- og frekvensenhet}$

Klassisk teori gir Rayleigh - Jeans lov

$$I(\nu, T) = \frac{2\pi\nu^2}{c^2} k_B T$$

($c = \text{lysfarten}; \quad k_B = \text{Boltzmanns konstant}$)

som stemmer med eksperimenter for lave frekvenser (dvs lange bølgelengder λ), men ikke for høye ν :



"Ultrafiolett katastrofen":

$j(T) \rightarrow \infty$ med klassisk teori

(7)

Max Planck, 1900, NP 1918:

EM stråling med frekvens ν har kvantisert energi,

$$E = 0, h\nu, 2h\nu, 3h\nu, \dots$$

Plancks kvantehypotese

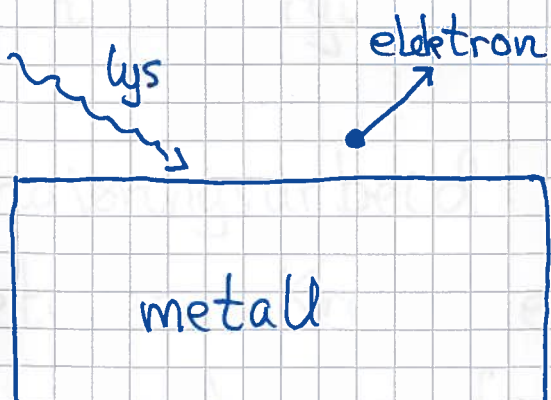
som gir

$$I(\nu, T) = \frac{2\pi\nu^2}{c^2} \cdot \frac{h\nu}{e^{h\nu/k_B T} - 1}$$

Plancks strålingslov

- Fotoelektrisk effekt:

EM stråling kan rive løs elektroner fra en metalloverflate:



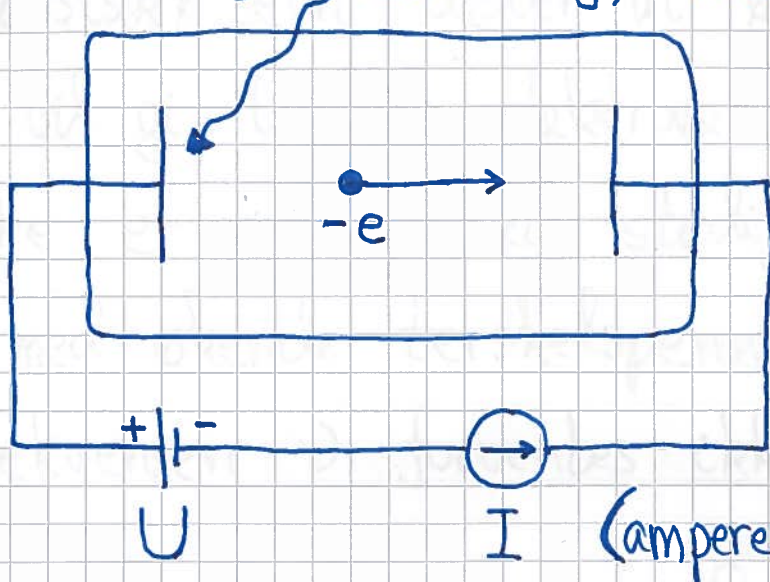
Exp:

Hertz 1887

Lenard 1900

R. Millikan 1914
(NP 1923)

(8)



Vakuumrør med
to elektroder

Terskelspenning : Noen løsreune elektroner treffer den andre elektroden ; gir strøm I i kretsen. Trenger motspenning

$$U = K_{\max} / e$$

for å redusere I til null. Kaller U terskelspenningen. Her er K_{\max} maksimal kinetisk energi for løsreune elektroner.

Frigjøringsarbeid : Elektronene er bundet til metallet. Kreves en minsteenergi $W =$ frigjøringsarbeidet for å rive løs elektroner.

Klassisk teori tilskir at økt intensitet
j vil gi løsrevne elektroner (når liten intensitet
ikke er nok), med stadig økende K_{max} og
dermed økende terskelspenning U .

Frekvensen ν forventes ikke å påvirke U .

Eksperimentene gav $I = 0$ så lenge ν var
mindre enn en bestemt (materialavhengig)
terskelfrekvens ν_0 , selv med økt intensitet.

Dvs: $U = 0$ så lenge $\nu < \nu_0$.

Hvis $\nu > \nu_0$, øker U lineart med ν .



Millikan 1914, NP 1923

Einstein forklarte resultatene med (10)

Plancks kvanthypote : (1905, NP 1921)

Lysets energi kommer i "hele pakker" proporsjonale med frekvensen, $E = h\nu$, med h som innført av Planck. Et elektron i metallet kan bare absorbere hele energien $h\nu$. (Liten sannsynlighet for å absorbere to eller flere energipakker samtidig.)

Må nå ha $h\nu \geq W$ for å rive los elektroner.

Med $h\nu > W$ får løsrevne elektroner kinetisk energi inntil $h\nu - W$. Dermed blir terskelspenningen gitt ved

$$eU = K_{\max} = h\nu - W$$

dvs

$$U = \frac{h}{e} (\nu - \nu_0) = \text{terskelspenning}$$

med

$$\nu_0 = W/h = \text{terskelfrekvens}$$

Millikan målte $e \approx 1.6 \cdot 10^{-19} C$ i 1909, slik at $U(\nu)$ ga s exp. verdi for h ($\approx 6.6 \cdot 10^{-34} Js$)

• Einsteins spesielle relativitetssteori : (11)

Bugger på to postulater : (1905)

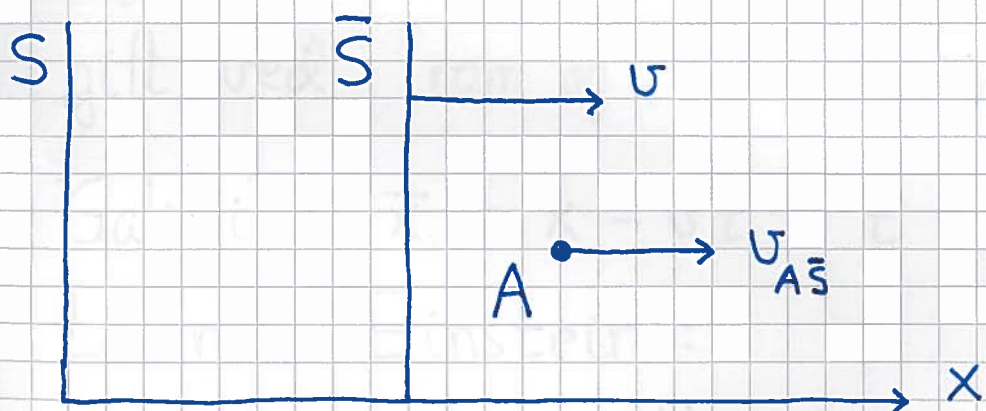
1. Relativitetsprinsippet: De samme naturlover

gjelder i alle inertialsystemer. (Også

formulert av Galilei mye tidligere.)

2. Lysfarten i vakuum er den samme for
alle observatører, uavhengig av observatørenes
relative bevegelse.

Konsekvenser av disse postulatene :



S og \bar{S} er to inertialsystemer ("koordinatsystemer") i relativ bevegelse :

$v = U_{\bar{S}S} =$ farten til \bar{S} relativt S,

dvs slik at omvendt er $U_{S\bar{S}} = -v$

- Samtidighet er relativt: Samtidige hendelser i S er ikke samtidige i \bar{S} .
- Tidsdilatasjon: Klokker i bevegelse går saktere enn klokker som er i ro.
- Lengdekontraksjon: Objekter i bevegelse er kortere enn objekter i ro.
- Galileisk relativitet holder ikke:
 $v_{AS} \neq v_{A\bar{S}} + v_{\bar{S}S}$
- Nye regler for transformasjon av hendelser gitt ved "rom og tid" (x, y, z, t) .

Galilei: $\bar{x} = x - vt$; $\bar{t} = t$

Lorentz/Einstein:

$$\bar{x} = \gamma (x - vt)$$

$$\bar{t} = \gamma \left(t - \frac{v}{c^2} x \right)$$

med

$$\gamma = \frac{1}{\sqrt{1 - v^2/c^2}}$$

$$c = \text{lysfarten} \approx 3 \cdot 10^8 \text{ m/s}$$

- Nye uttrykk for impuls \vec{p} og energi E , for å få prinsippene om impuls- og energibehovet i samsvar med relativitetsprinsippet:

$$\vec{p} = \gamma m \vec{v} ; E = \gamma m c^2 = E_0 + K$$

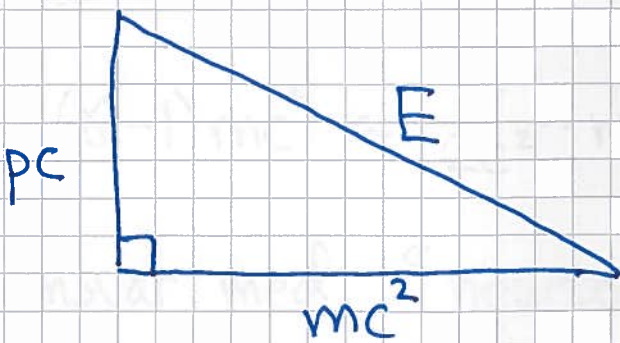
Hvileenergi: $E_0 = mc^2$

Kinetisk energi: $K = E - E_0 = (\gamma - 1)mc^2$

Gir sammenhengen

$$E^2 = (pc)^2 + (mc^2)^2$$

for partikkelen med masse m , impuls p og energi E .



(14)

Eks: Lys; bølgelengde λ , frekvens ν
og (bølge-)fart c . Er samtidig å
betrakte som partikler (pga fotoelektrisk
effekt). Siden $v = c$, vil $\gamma \rightarrow \infty$
for lyskrant (fotoner). Med $p = \gamma m v$
må vi da ha $m = 0$, for å unngå at $p \rightarrow \infty$.
Med $m = 0$ blir $E = pc$. Med $c = \lambda\nu$
og $E = h\nu$ følger det at

$$p = E/c = h\nu/c = h/\lambda$$

Eks: K for partikkelen med $v \ll c$

Med $v \ll c$ er $\gamma = (1 - v^2/c^2)^{-1/2} \approx 1 + \frac{v^2}{2c^2}$
slik at

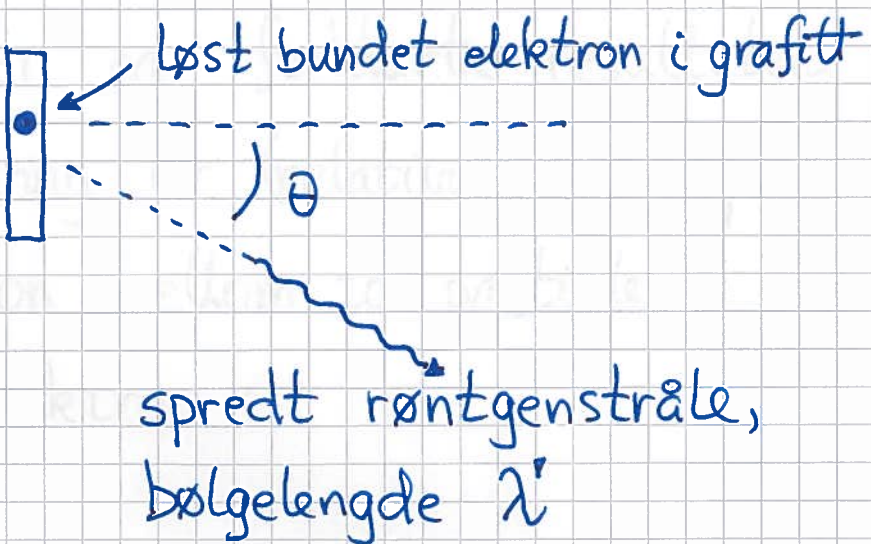
$$K = (\gamma - 1)mc^2 \approx \frac{v^2}{2c^2} \cdot mc^2 = \frac{1}{2}mv^2$$

i samsvar med "newton-mekanikk".

• Compton - effekten :



røntgenstråling,
bølgelengde λ



spredt røntgenstråle,
bølgelengde λ'

Klassisk teori :

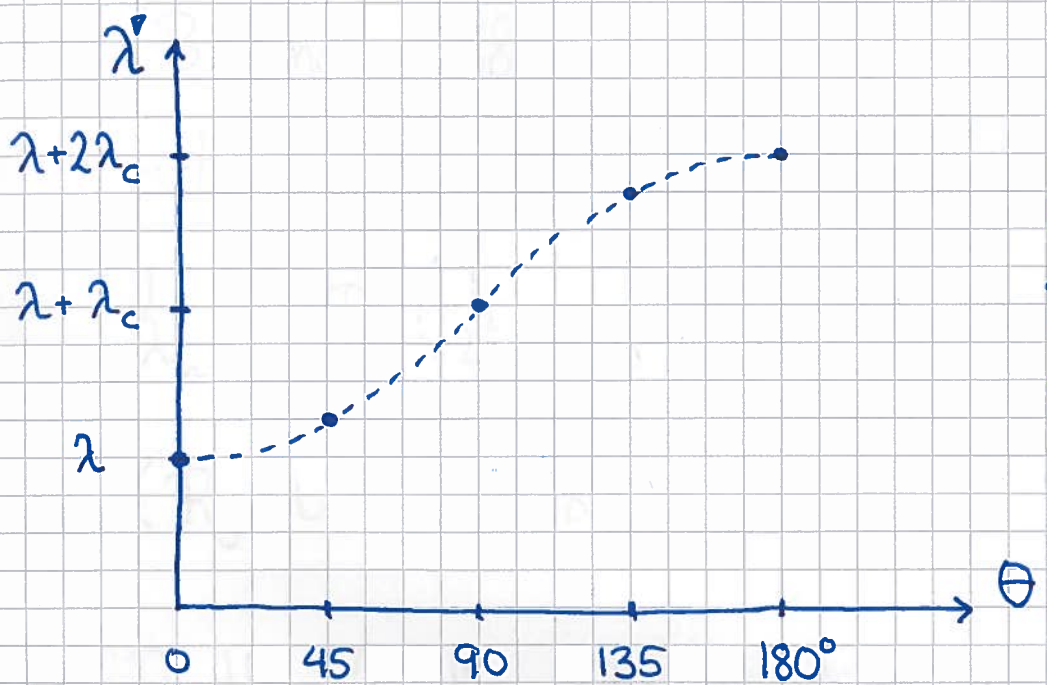
Røntgenstrålene er EM bølger med frekvens $\nu = c/\lambda$. EM-bølger har oscillerende elektrisk felt $\vec{E}(t)$ som gir oscillerende kraft $\vec{F}(t) = -e\vec{E}(t)$ på elektronet. Elektronet settes i svingninger med samme frekvens ν . Ifølge Maxwells ligninger vil en slik oscillerende ladning sende ut EM-bølger med frekvens ν .

Dermed bør spredt røntgenstråle ha samme bølgelengde som innkommende stråle, dvs $\lambda' = \lambda$; uavhengig av vinkelen θ .

A. H. Compton (1923, NP 1927)

(16)

gjorde eksperimenter og forklarte resultatene ved å bruke bevaring av (relativistisk) impuls og energi i kollisjon mellom to partikler, et foton og et elektron :



A.H.Compton,
Phys. Rev. 21,
483 (1923)

$$\lambda' = \lambda + \lambda_c (1 - \cos \Theta)$$

$$\lambda_c = \frac{h}{m_e c} \approx 2.4 \cdot 10^{-12} \text{ m} = 0.024 \text{ Å}$$

= compton-bølgelengden for elektronet

Et overbevisende resultat i favør av fotonbegrepet.

Bohr - modellen (1913, NP 1922)

(17)

Bakgrunn for Niels Bohrs ideer:

- Balmerserien for H-atomet.

$$\lambda_n = B \frac{n^2}{n^2 - 4} ; B \approx 364.5 \text{ nm} ; n=3,4,5,6$$

(Balmer 1885)

ert.

$$\frac{1}{\lambda_n} = R \left(\frac{1}{2^2} - \frac{1}{n^2} \right) ; R = \frac{4}{B} \approx 10^7 \text{ m}^{-1}$$

(Rydberg 1888)

- Rutherford's atommodell (1911).

Atomenes positive ladning er samlet i en liten kjerne; ikke jeunt fordelt som i Thomsons modell.

Exp. motivert: α -partikler (He^{2+}) ble sendt mot tynn gullfolie. Noen ble sterkt avbøyd.



- Planckes kvantehypotese og Einsteins forklaring av fotoelektrisk effekt. Viste at strålingsenergi opptrer i enheter av $h\nu$.

Bohrs postulater :

- Stasjonære tilstander, med bestemte energier. Klassisk fysikk tilsier at elektronet i H-atomet må tape energi i form av EM stråling, fordi det er i akselerert bevegelse. Dette må være forhindret.
- Kvantesprang. Absorpsjon og emisjon av foton gir overgang for elektronet mellom stasjonære tilstander.

Balmer serien antyder at energinivåene i H-atomet er

$$E_n = - \frac{hcR}{n^2} \approx - \frac{13.6 \text{ eV}}{n^2} \quad (n=1, 2, 3, \dots)$$

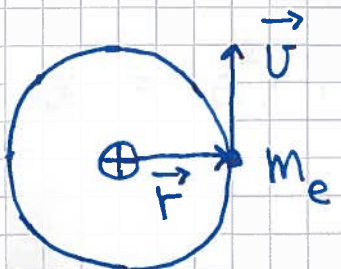
siden et foton har energi $h\nu = \frac{hc}{\lambda}$.

(19)

- Elektronet går i klassiske sirkelbaner rundt kjernen. [Stemmer ikke!]

Newton's 2. lov, $F = m_e a$, med $a = v^2/r$
og $F = e^2 / 4\pi\epsilon_0 r^2$ gir $v^2 = e^2 / 4\pi\epsilon_0 m_e r$,
 $K = \frac{1}{2} m_e v^2 = e^2 / 8\pi\epsilon_0 r$, og total energi
 $E = K + V = e^2 / 8\pi\epsilon_0 r - e^2 / 4\pi\epsilon_0 r = -e^2 / 8\pi\epsilon_0 r$

- Elektronets dreieimpuls er kantisert. [Stemmer!]



$$L = |\vec{L}| = |\vec{r} \times \vec{p}| = rm_e v$$

Bohrs forslag : $L = n\hbar$, med $n = 1, 2, 3, \dots$

og $\hbar = h / 2\pi \approx 1.05 \cdot 10^{-34}$ Js ("h-strek")

[Stemmer ikke!]

Derved :

$$L^2 = r^2 m_e^2 v^2 = r^2 m_e^2 e^2 / 4\pi\epsilon_0 m_e r = n^2 \hbar^2,$$

dvs sirkelbanene har radius

$$r_n = n^2 \cdot 4\pi\epsilon_0 \hbar^2 / m_e e^2 = n^2 \cdot a_0$$

der Bohr-radien er $a_0 = 4\pi\epsilon_0 \hbar^2 / m_e e^2 \approx 0.529 \text{ \AA}$

Energinivåene:

$$E_n = -e^2/8\pi\epsilon_0 r_n = -\frac{m_e e^4 / 32\pi^2 \epsilon_0^2 h^2}{n^2} \approx -\frac{13.6 \text{ eV}}{n^2}$$

i samsvar med Balmers (og Rydbergs) formel!

Vi ser at $|E_n| \ll m_e c^2$ = elektronets hvileenergi:

$$E_n = -\frac{1}{2} \alpha^2 m_e c^2 / n^2$$

$$\alpha = e^2 / 4\pi\epsilon_0 \hbar c \approx 1/137 \quad (\text{finstrukturkonstanten})$$

~~~~~

- Riktige energinivåer for hydrogen.
- L er kvantisert, og proporsjonal med  $\hbar$ , men  $L=0$  i grunntilstanden for hydrogen, ikke  $\hbar$  som i Bohrs modell.
- Bohr-modellen fungerte dårlig på andre atomer.
- Ideen om elektronet som klassisk partikkelfølger rundt kjernen måtte forkastes.

# Interferens med partikler

Louis de Broglie (1892 - 1987) :

"Hvis lys er både bølger og partikler, bør massive partikler være både partikler og bølger!"

(1923/24 ; NP 1929)

For lys :  $E = h\nu$  og  $E = pc$

$$\Rightarrow p = \frac{E}{c} = \frac{h\nu}{c} = \frac{h}{\lambda}$$

Dermed, for massive partikler med impuls  $p$  og energi  $E$ :

$$\boxed{\lambda = \frac{h}{p}, \nu = \frac{E}{h}}$$

de Broglies  
hypotese

For en ikke-relativistisk ideell gass av atomer eller molekyler har vi

$$K_{trans} = \frac{P^2}{2m} = \frac{3}{2} k_B T$$

$$\Rightarrow \lambda = \frac{h}{\sqrt{3mk_B T}} = \text{partiklene sine termiske de Broglie bølgelengde}$$

Noen exp. som viser partiklers bølge-  
egenskaper :

Davisson & Germer 1927 : Diffraksjon av  
elektroner mot Ni - krystall.

[ Davisson, G. P. Thomson NP 1937 ]

G. Jönsson. 1961 : Dobbeltspalte forsøk  
med elektroner.

Tonomura et al 1989 : Interferensmønster  
selv med ett og ett elektron mot dobbeltspalte.

Zeilinger et al 2003 : Interferens med ett  
og ett  $C_{60}$  - molekyl mot diffraksjonsgitter.

Arndt et al 2015 : Interferens med  
 $C_{168}H_{94}F_{152}O_8N_4S_4$  - molekyler.

# Schrödingerligningen [YF40]

(23)

Erwin Schrödinger (1925; NP 1933 med Paul Dirac; Werner Heisenberg fikk NP i 1932):

"Hva slags bølgeligning kan fungere for de Broglies partikkkelbølger?"

Vi rekapitulerer fra mekanikk og elmag:  
Bølgelign. som beskriver mekaniske og EM bølger er

$$\frac{\partial^2 y}{\partial x^2} = \frac{1}{U^2} \frac{\partial^2 y}{\partial t^2}$$

evt, i 3D,

$$\nabla^2 y = \frac{1}{U^2} \frac{\partial^2 y}{\partial t^2}; \quad \nabla^2 = \frac{\partial^2}{\partial x^2} + \frac{\partial^2}{\partial y^2} + \frac{\partial^2}{\partial z^2}$$

med løsninger på formen

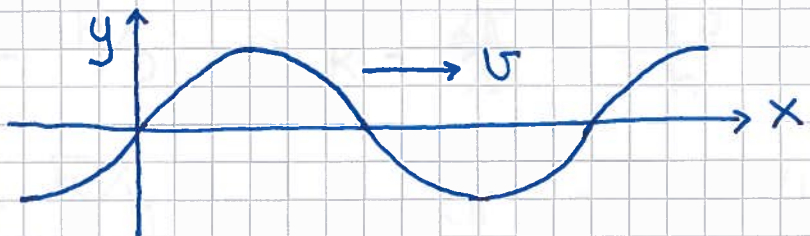
$$y(x, t) = y(x \pm vt)$$

Her kan  $y$  være: utsving på en streng, avvik fra likevektstrykket i luft, elektrisk felt  $\vec{E}$ , magnetfelt  $\vec{B}$  osv.

Eks: Harmonisk bølge

(24)

$$y(x,t) = A \sin(kx - \omega t)$$



$$k = 2\pi/\lambda = \text{bølgetallet}; \lambda = \text{bølgelengden}$$

$$\omega = 2\pi/T = 2\pi\nu = \text{vinkelfrekvensen}; T = \text{perioden}$$

$$v = \lambda/T = \lambda\nu = \omega/k = \text{fasehastigheten}$$

$$v_g = \omega/k = \text{gruppehastigheten}$$

Vi ser på enkleste mulige eksempel:

Fri partikkel med veldefinert fart i x-retning.

$$\vec{v} = v \hat{x}$$

$$\vec{p} = m \vec{v} = mv \hat{x} = \text{impuls}$$

$$E = K = \frac{1}{2}mv^2 = p^2/2m = \text{energi}$$

(der vi har valgt pot. energi  $V=0$ )

I følge de Broglie har partikkelen  
bølgeegenskaper:

$$\lambda = h/p \Rightarrow k = \frac{2\pi}{\lambda} = \frac{2\pi p}{h} = P/\hbar$$

$$\nu = E/h \Rightarrow \omega = 2\pi\nu = 2\pi E/h = E/\hbar$$

Så vi prøver å beskrive partikkelen med bølgefunktjonen

$$\Phi(x, t) = \cos\left(\frac{P}{\hbar}x - \frac{E}{\hbar}t\right); \text{ eft sinus.}$$

Kan vi finne en noenlunde enkel bølgeligning som har slike løsninger, og som samtidig er konsistent med at  $E = p^2/2m$ ?

Derivasjon (husk kjerneregel!) 2 ganger mhp x og 1 gang mhp t "trekker ut" hhv faktorer prop. med  $p^2$  og E og går nesten bra. Men:

$$\frac{\partial^2}{\partial x^2} \Phi = -\left(\frac{p}{\hbar}\right)^2 \cos\left(\frac{px}{\hbar} - \frac{Et}{\hbar}\right)$$

$$\frac{\partial^2}{\partial t^2} \Phi = \left(\frac{E}{\hbar}\right) \sin\left(\frac{px}{\hbar} - \frac{Et}{\hbar}\right)$$

(25)

Forsøk på å kombinere disse til en  
ligning på formen

$$(p^2/2m - E) \cdot (\text{en funksjon av } x \text{ og } t) = 0$$

lykkes ikke. Men vi vet at derivasjon  
av exp-funksjonen gir samme funksjon  
tilbake. Kombinasjonen

$$e^{i(p_x - Et)/\hbar} = \cos\left(\frac{p_x}{\hbar} - \frac{Et}{\hbar}\right) + i \sin\left(\frac{p_x}{\hbar} - \frac{Et}{\hbar}\right)$$

bør derfor gå bedre.

Dette er Eulers formel, og vi kaller gjerne  
funksjonen  $\exp[i(p_x - Et)/\hbar]$  for en  
plan bølge.

Her er  $i = \sqrt{-1}$ , slik at  $i^2 = -1$ .

Se notatet "Matematikk: Komplekse tall".

Vi prøver med bølgefunksjonen

$$\Psi(x,t) = e^{i(px-Et)/\hbar}$$

som gir

$$\frac{\partial^2 \Psi}{\partial x^2} = \left(\frac{ip}{\hbar}\right)^2 e^{i(px-Et)/\hbar} = -\frac{p^2}{\hbar^2} \Psi$$

slik at

$$-\frac{\hbar^2}{2m} \frac{\partial^2}{\partial x^2} \Psi(x,t) = \frac{p^2}{2m} \Psi(x,t)$$

Videre er

$$\frac{\partial \Psi}{\partial t} = -\frac{ieE}{\hbar} \Psi$$

slik at

$$i\hbar \frac{\partial}{\partial t} \Psi(x,t) = E \Psi(x,t)$$

Husk at vi her har antatt en fri partikkell og valgt  $V=0$ , slik at  $E=K=p^2/2m$ .

Da kan vi skrive  $E\Psi = \frac{p^2}{2m}\Psi$ , eller

$$i\hbar \frac{\partial}{\partial t} \Psi(x,t) = -\frac{\hbar^2}{2m} \frac{\partial^2}{\partial x^2} \Psi(x,t)$$

SL i  
1D

som er selveste Schrödingerligningen, for en fri partikkell i én dimensjon (1D).

## Merknader :

- SL er den enkleste diff. ligning som oppfylles av plane de Broglie - bølger for en ikke-relativistisk (dvs  $v \ll c$ , slik at  $K = p^2/2m$ ) fri partikkkel.
- SL viser seg å fungere i praksis, også for  $V = \text{konstant} \neq 0$ , og til og med for  $V \neq \text{konstant}$ , dvs  $V(x)$ , evt  $V(\vec{r})$  i 3D.
- Vi må ha komplekse løsninger av SL.  
Reell  $\Psi$  gir reell "høyreside"  $(-\frac{\hbar^2}{2m} \frac{\partial^2 \Psi}{\partial x^2})$   
og imaginer "venstreside"  $(i\hbar \frac{\partial \Psi}{\partial t})$ ,  
og det er ikke mulig.
- Målbare fysiske størrelser er real.  
Dermed kan bølgefunksjonen  $\Psi$   
ikke være en direkte målbar størrelse.

## Tolkning av bølgefunksjonen:

(29)

Max Born (1926, NP 1954) foreslo en statistisk tolkning,

$dP = |\Psi(x,t)|^2 dx$  = sannsynligheten for å finne partikkelen (som beskrives av  $\Psi$ ) mellom  $x$  og  $x+dx$  dersom dens posisjon måles ved tidspunktet  $t$

Da blir  $|\Psi(x,t)|^2 = dP/dx$ , dvs sannsynligheten pr lengdeenhet, eller sannsynlighetsstettheten.

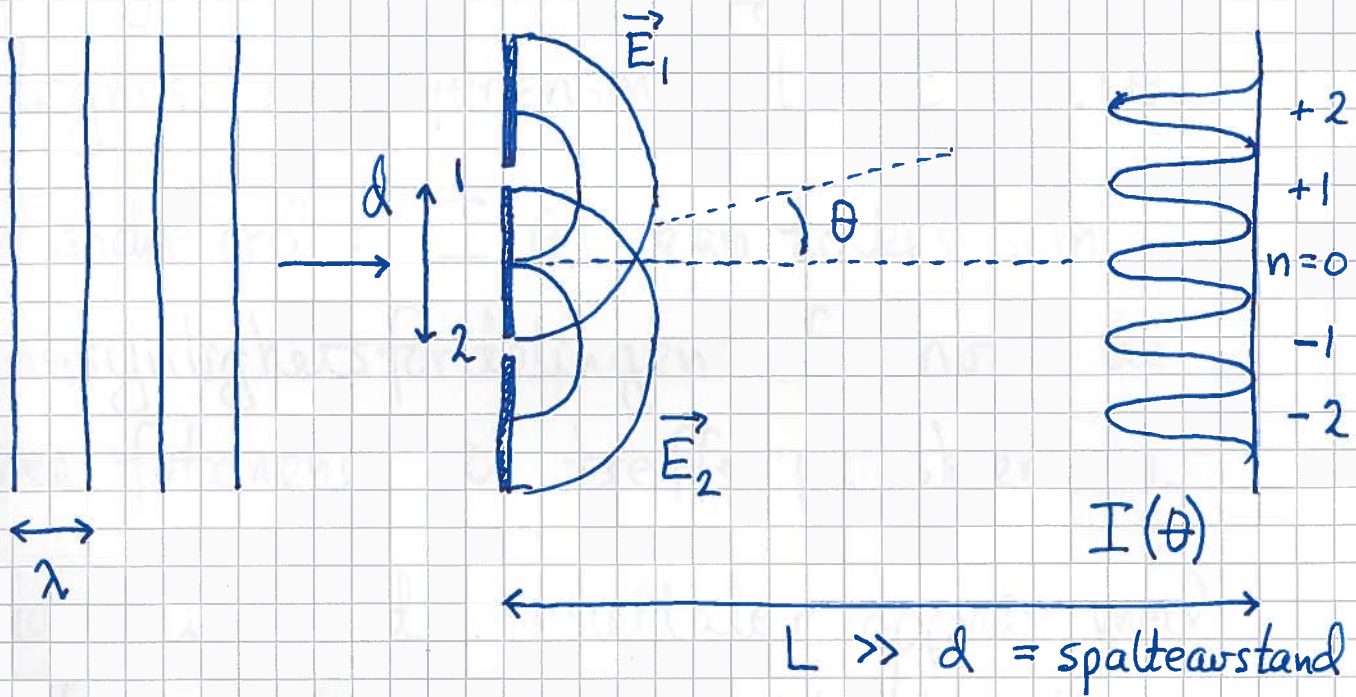
## Normering av sannsynlighet:

Et eller annet sted må partikkelen være, til enhver tid, slik at  $\int dP = 1$ . Dvs

$$\boxed{\int_{-\infty}^{\infty} |\Psi(x,t)|^2 dx = 1}$$

Begrunnelse for en slik tolkning av  $2\Psi$ : (30)

Ser på plan EM-bølge inn mot vegg med to smale åpne spalter (T. Young 1801).



Total bølge som treffer skjermen:  $\vec{E} = \vec{E}_1 + \vec{E}_2$

Intensitet på skjermen:  $I \sim |\vec{E}|^2 = |\vec{E}_1 + \vec{E}_2|^2$

Veilengdeforskjell, til skerm fra 1 og 2:

$$\Delta r = d \sin \theta$$

$\Rightarrow$  Konstruktiv interferens når  $d \sin \theta = n\lambda$ ;

da er  $\vec{E}_2 \approx (+) \vec{E}_1$  og  $I \sim 4E_1^2$

Destruktiv interferens når  $d \sin \theta = (n + \frac{1}{2})\lambda$ ;

da er  $\vec{E}_2 \approx -\vec{E}_1$  og  $I \approx 0$

Men lys er også partikler (fotoner):

Hvis ett og ett foton sendes mot dobbeltpalten, får vi tilsynelatende tilfeldige treffsteder på skjermen. Etter mange fotoner uttegnes interferensmønsteret  $I(\theta)$ .

Med andre ord :  $I(\theta)$  kan tolkes som sannsynlighetsfordelingen for hvor de ulike fotonene vil treffe på skjermen.

Siden tilsvarende resultater oppnås med elektroner inn mot en dobbeltpalte (jf. Tonomura et al, Am J. Phys 57, 117 (1989)), blir det naturlig å tolke  $|\Psi(x,t)|^2$  som en sannsynlighetsfordeling for hvor en vil finne elektronet ved tidspunkt t.

## Bølgepakker :

Planbølge med veldefinert ("skarp")

impuls  $p$ ,  $\Psi(x,t) = \exp[i(px-Et)/\hbar]$ ,  
er ikke normerbar, fordi

$$\int_{-\infty}^{\infty} |\Psi(x,t)|^2 dx = \int_{-\infty}^{\infty} 1 \cdot dx = \infty$$

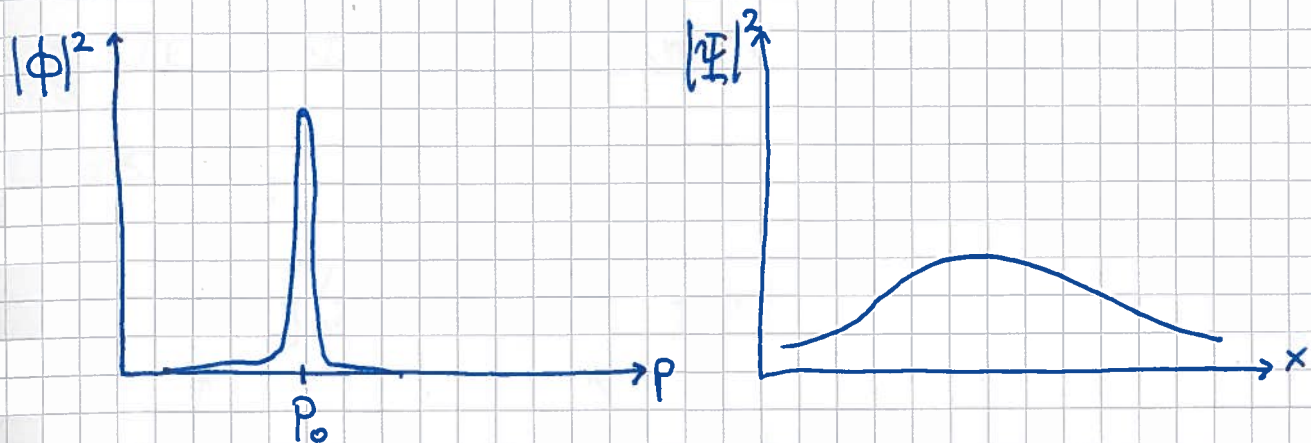
Vi kan "lokalisere" partikkelen, og normere sannsynligheten, ved å beskrive partikkelen med en sum av planbølger med ulike impulser, dvs en bølgepakke:

$$\Psi(x,t) = \int_{-\infty}^{\infty} \phi(p) e^{i(px-Et)/\hbar} dp$$

Her tolker vi  $\phi(p)$  som andelen av  $\Psi(x,t)$  som har impuls  $p$ , slik at  $|\phi(p)|^2 dp$  blir sannsynligheten for at en måling av partikkelenes impuls vil gi resultat mellom  $p$  og  $p+dp$ .

Dersom  $|\phi(p)|^2$  er smal, vil  $|\Psi(x,t)|^2$   
være bred, og omvendt. Feks slik:

(33)



Hvis  $\Delta p$  og  $\Delta x$  er hhv "uskarpheten"  
i partikkelenes impuls og posisjon,  
skal vi senere se at vi alltid har

$$\Delta x \cdot \Delta p \geq \hbar/2$$

som er Heisenbergs uskarphetsrelasjon.

# Operator. Egenfunksjon. Egenverdi

Hvis en operator virker på en funksjon  $f(x)$ , og resultatet blir samme  $f(x)$  gange med en konstant, dvs

$$\hat{A} f(x) = A f(x)$$

↑                           ↑  
operator                   konstant

da er  $f(x)$  en egenfunksjon til operatoren  $\hat{A}$ , med tilhørende egenverdi  $A$ .

Eks:

- $\frac{\partial}{\partial x} \cos(px/\hbar) = -(\hbar/p) \sin(px/\hbar)$   
 $\Rightarrow \cos(px/\hbar)$  er ikke egenf. til oper.  $\partial/\partial x$
- $\frac{\partial}{\partial x} \exp(ipx/\hbar) = (ip/\hbar) \exp(ipx/\hbar)$   
 $\Rightarrow \exp(ipx/\hbar)$  er egenf. til  $\partial/\partial x$ , med egenv.  $ip/\hbar$
- $\frac{\hbar}{i} \frac{\partial}{\partial x} \exp(ipx/\hbar) = p \exp(ipx/\hbar)$   
 $\Rightarrow \exp(ipx/\hbar)$  er egenf. til  $\frac{\hbar}{i} \frac{\partial}{\partial x}$  med egenv.  $p$

$\Rightarrow$  Vi kaller  $\frac{\hbar}{i} \frac{\partial}{\partial x}$  en impulsoperator,

$$\hat{P} = \frac{\hbar}{i} \frac{\partial}{\partial x}$$

og vi kaller ligningen

$$\hat{P} \Psi = p \Psi$$

en egenverdiligning.

Og vi ser at  $\exp(ipx/\hbar)$ , og dermed også den plane bølgen

$\Psi(x,t) = \exp(ipx/\hbar - iEt/\hbar)$   
er egenfunksjon til  $\hat{P}$  med egenverdi  $p$ .

La oss ta for oss energien, først for en fri partikkkel med  $V=0$ , slik at

$$E = K = p^2/2m$$

Det er da rimelig å kalle operatoren

$$\frac{1}{2m} \hat{P}^2 = \frac{1}{2m} \left( \frac{\hbar}{i} \frac{\partial}{\partial x} \right) \left( \frac{\hbar}{i} \frac{\partial}{\partial x} \right) = -\frac{\hbar^2}{2m} \frac{\partial^2}{\partial x^2}$$

en energioperator, mer presist en oper. for kin. energi.

I klassisk mekanikk kalles energien, eller funksjonen som beskriver energien, gjerne Hamiltonfunksjonen  $H$ .

I QM (kv.mek) kaller vi derfor oper. for energi Hamiltonoperatoren  $\hat{H}$ .

For fri partikkelen, med  $V=0$ :

$$\hat{H} = \hat{K} = -\frac{\hbar^2}{2m} \frac{\partial^2}{\partial x^2}$$

Fri part., med  $V=V_0 \neq 0$ :

$$E = K + V = p^2/2m + V_0$$

$$\hat{H} = \hat{K} + \hat{V} = \hat{K} + V \quad (\hat{V} = V)$$

$$= \frac{1}{2m} \hat{p}^2 + V = -\frac{\hbar^2}{2m} \frac{\partial^2}{\partial x^2} + V_0$$

Hva med  $V \neq \text{konst.}$ ? Dvs  $F = -\frac{dV}{dx} \neq 0$ ?

Schrödinger satset på samme ligning, dvs

$$i\hbar \frac{\partial \Psi}{\partial t} = \hat{H} \Psi ; \quad \hat{H} = -\frac{\hbar^2}{2m} \frac{\partial^2}{\partial x^2} + V(x)$$

som er SL i 1D, og som fungerer!

$$[3D: \vec{p} = \frac{\hbar}{i} \nabla ; V(x) \rightarrow V(\vec{r}) ; \quad \hat{H} = -\frac{\hbar^2}{2m} \nabla^2 + V(\vec{r})]$$

# Stasjonære tilstander og tidsuavhengig Schrödingerligning (TUSL)

Ofte er potensialet  $V(x)$  uavhengig av tiden  $t$ . Da har SL løsninger på formen

$$\Psi(x,t) = \psi(x) e^{-iEt/\hbar}$$

Dette er et eksempel på en stasjonær tilstand, med sannsynlighetsfordeling som ikke avhenger av  $t$ :

$$|\Psi(x,t)|^2 = |\psi(x)|^2$$

$$\text{fordi } |\exp(-iEt/\hbar)|^2 = 1.$$

Bewis: SL, dvs  $i\hbar \partial\Psi/\partial t = \hat{H}\Psi$ , har produktløsninger  $\Psi(x,t) = \psi(x) \cdot T(t)$  når  $\hat{H}$  er uavhengig av  $t$ . Innsetting og divisjon med  $\Psi$  gir

~~$$i\hbar \frac{\partial \Psi}{\partial t} \underset{\text{ih}}{=} \hat{H}\Psi$$~~

$$i\hbar \frac{\partial \Psi}{\partial t} = \frac{\hat{H}\Psi}{\Psi}.$$

Her er v. side kun avh. av  $t$  og h. side kun av  $x$ .

(38)

Da må begge sider av lign. være lik en og samme konstant, som vi kan kalle E. Løsset for T:

$$\frac{dT}{dt} = \frac{E dt}{i\hbar} \Rightarrow T(t) = \text{konst.} \cdot e^{-iEt/\hbar}$$

Lign. for  $\Psi(x)$ :

$$\hat{H}\Psi(x) = E\Psi(x)$$

TUSL i 1D

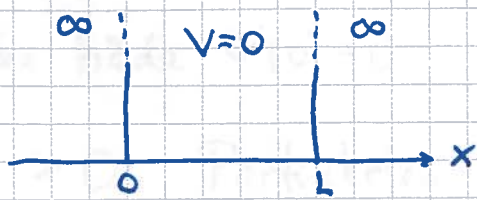
med  $\hat{H} = \hat{K} + V = -\frac{\hbar^2}{2m} \frac{\partial^2}{\partial x^2} + V(x)$ . Siden  $\hat{H}$  er operator for total energi, er det naturlig å tolke egenverdiene  $E$  som systemets mulige energier og  $\Psi(x)$  som systemets mulige tilstander.

Men husk at  $\Psi(x,t) = \Psi(x) e^{-iEt/\hbar}$  er den fulle løsningen av SL. Dette er stasjonære tilstander, fordi  $|\Psi(x,t)|^2 = |\Psi(x)|^2$  er uavh. av t.

# Partikkkel i boks (1D)

En partikkkel, masse  $m$ , i potensialet

$$V(x) = \begin{cases} 0 & ; 0 < x < L \\ \infty & ; \text{ellers} \end{cases}$$



En klassisk partikkkel i dette potensialet har  $E = K = \frac{1}{2}mv^2$ , og alle  $E \geq 0$  er mulige. Partikkelen seiler fram og tilbake med farten  $v = \sqrt{2E/m}$ .

Kvantemekanisk må vi løse SL, som har løsninger

$$\Psi(x,t) = \psi(x) e^{-iEt/\hbar}$$

der  $\psi(x)$  og  $E$  er hhv. egenf. og egenv. til

$$\hat{H} = \hat{K} + V = -\frac{\hbar^2}{2m} \frac{d^2}{dx^2} + V(x), \quad \text{dvs}$$

$$\hat{H}\psi(x) = E\psi(x)$$

Utenfor boksen:  $V = \infty$ , og vi må ha  $\psi = 0$ ;

her kan ikke partikkelen befinne seg.

Inni boksen:  $V = 0$ . Vi må kunne anta at

$E \geq 0$ , og at  $\psi(x)$  er kontinuerlig, slik at  $|\psi|^2$  blir kontinuerlig.

Da er  $\Psi(0) = \Psi(L) = 0$ .

(40)

Da er  $E=0$  ikke mulig: I såfald er  $\Psi''(x) = 0$ ,

dvs  $\Psi(x) = Ax + B$ , men da er ikke både  $\Psi(0) = 0$

og  $\Psi(L) = 0$  mulig! Dvs:  $E > 0$ . Partikkelen  
kan ikke ligge i ro!

Generell løsning av TUSL der  $V=0$ :

$$\Psi'' + k^2 \Psi = 0 ; \quad k = \sqrt{2mE/\hbar^2}$$

$$\Rightarrow \Psi(x) = A \sin kx + B \cos kx$$

$$\Psi(0) = 0 \Rightarrow B = 0 \Rightarrow \Psi(x) = A \sin kx$$

$$\Psi(L) = 0 \Rightarrow \sin kL = 0 \Rightarrow k_n \cdot L = n \cdot \pi ; \quad n=1,2,3,\dots$$

Vi har fått kvantisering av energien:

$$E_n = \frac{\hbar^2 k_n^2}{2m} = n^2 \cdot \frac{\hbar^2 \pi^2}{2mL^2} ; \quad n=1,2,3,\dots$$

Tilhørende egenf:  $\Psi_n(x) = A_n \sin \frac{n\pi x}{L}$

Fastlegger  $A_n$  med normeringskravet:

$$\int_0^L |\Psi_n(x)|^2 dx = 1 \quad (\text{for hver } n)$$

(41)

Skriver om kvaratet av sinus:

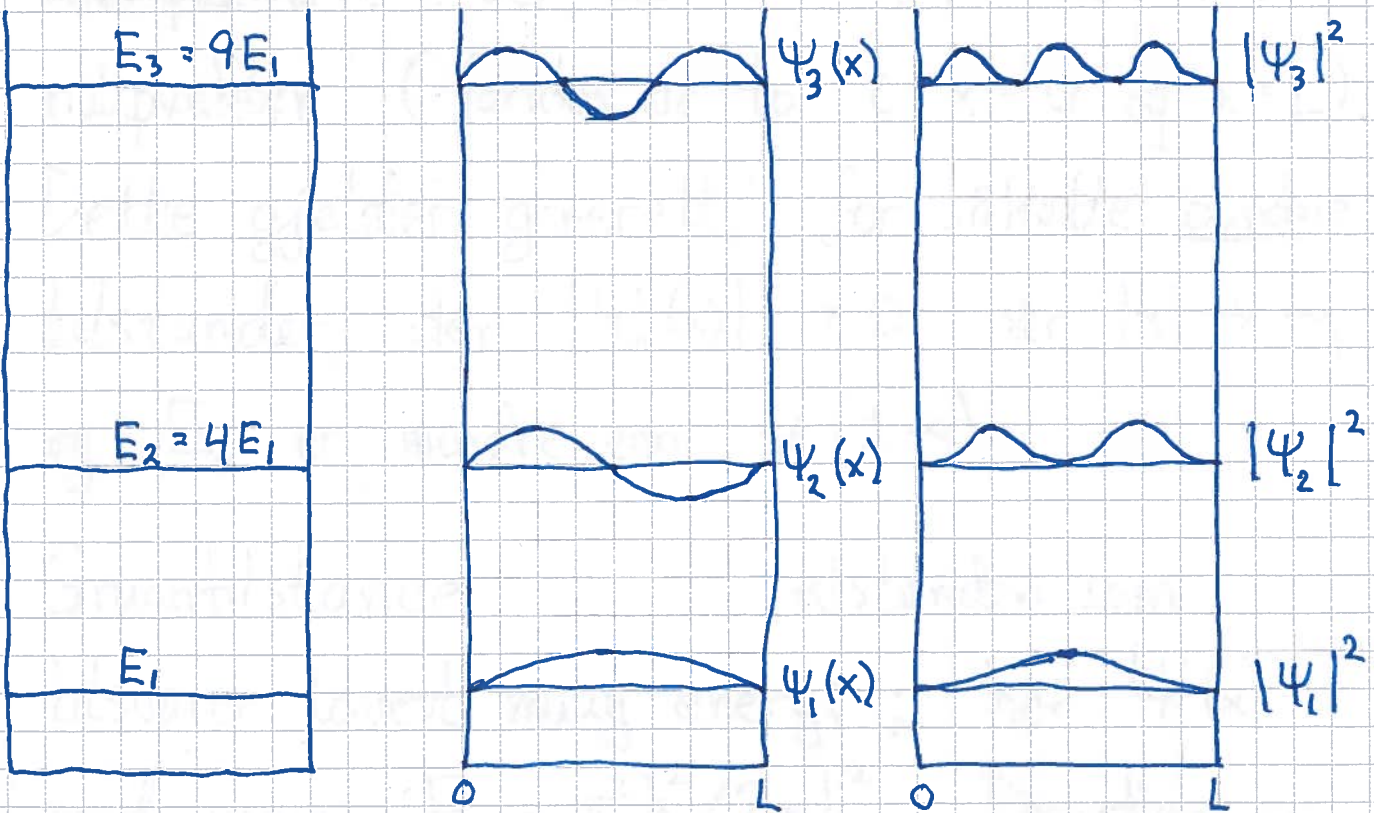
$$\begin{aligned}\sin^2 \alpha &= \left\{ \frac{1}{2i} (e^{i\alpha} - e^{-i\alpha}) \right\}^2 = -\frac{1}{4} \{ e^{2i\alpha} + e^{-2i\alpha} - 2 \} \\ &= \underline{\underline{\frac{1}{2} - \frac{1}{2} \cos 2\alpha}}\end{aligned}$$

Dermed:

$$|A_n|^2 \int_0^L \frac{1}{2} \left( 1 - \cos \frac{2n\pi x}{L} \right) dx = 1$$

$$\Rightarrow |A_n|^2 \cdot \frac{L}{2} = 1 \Rightarrow A_n = \sqrt{\frac{2}{L}}$$

$$\Rightarrow \text{Normerte egenfunksjoner: } \Psi_n(x) = \sqrt{\frac{2}{L}} \sin \frac{n\pi x}{L}$$



En klassisk analogi: Stående bølger på streng.

## Merknader:

42

- Symmetri. Her er  $V(x)$  symmetrisk om  $x = L/2$ .  
Da må også  $|\Psi_n(x)|^2$  være symm. om  $x = L/2$ .  
Da må  $\Psi_n(x)$  være symm. eller antisymm. om  
 $x = L/2$ . Vi ser at dette stemmer her:  $\Psi_n(x)$   
er symm. for  $n = 1, 3, 5, \dots$  og antisymm. for  
 $n = 2, 4, 6, \dots$
- Nullpunkter. Ser her at  $\Psi_n(x)$  har  $n-1$   
nullpunkter (foruten de to i  $x = 0$  og  $x = L$ ).  
Dette gjelder generelt, for såkalte bundne  
tilstander, der  $|\Psi_n(x)| \rightarrow 0$  når  $|x| \rightarrow \infty$ ,  
og  $E_n$  er mindre enn  $V(\pm\infty)$ .
- Grunntilstanden er den tilstanden som  
tilsvarer lavest mulig energi; her  $\Psi_1(x)$   
med energi  $E_1 = \pi^2 \hbar^2 / 2mL^2$ . Deretter er  
 $\Psi_2(x)$  1. eksisterte tilstand, osv.

- Grensebetingelser.

$\Psi(x)$  må være kontinuerlig overalt. Hvis ikke, blir sannsynlighetsstettheten  $|\Psi(x)|^2$  ikke entydig i alle posisjoner  $x$ ; det ville være fysisk unimelig.

Om skrivning av TUSL gir

$$\Psi''/\Psi = \frac{2m}{\hbar^2} (V - E),$$

som viser at  $\Psi'(x)$  også er kontinuerlig overalt, bortsett fra der  $V(x)$  gjør et uendelig stort sprang. Der blir  $\Psi'(x)$  diskontinuerlig, dvs  $\Psi(x)$  har et "knekkpunkt". (I vårt eksempel skjer dette i  $x=0$  og  $x=L$ .)

- Bølgefunktjonens krumningsegenskaper.

Vi har  $\Psi''/\Psi = \frac{2m}{\hbar^2} (V - E)$ .

Der  $E > V$  er dermed  $\Psi''/\Psi < 0$ , og  $\Psi$  krummer mot  $x$ -aksen. Omvendt, der  $E < V$  blir  $\Psi''/\Psi > 0$ , og  $\Psi$  krummer bort fra  $x$ -aksen.

I klassisk fysikk kan en partikkel bare være der  $E \geq V$  (dvs  $K \geq 0$ ). Vi kaller dette et klassisk tillatt område.

Med kvantemekanikk skal vi se at partikler også kan være i områder der  $E < V$  (så lenge  $V$  er endelig, dvs  $|V| < \infty$ ).

Vi kaller dette et klassisk forbudt område.

[Hvis  $V = \infty$ , er  $\Psi = 0$ , så slike områder er forbudt, både klassisk og kvantemekanisk!]

- Ortogonalitet.

Vanlige vektorer er ortogonale hvis skalarproduktet er null:  $\vec{V}_i \cdot \vec{V}_j = 0 \iff \vec{V}_i \perp \vec{V}_j$ .

Hvis lengden (absoluttverdien) av  $\vec{V}_i$  dessuten er lik 1, kan vi si at vektorene også er normerte.

Eller, for enkelhets skyld, ortonormerte dersom de er både ortogonale og normerte.

Dette kan uttrykkes svært "kompakt" med en Kronecker-delta,

$$\delta_{ij} = \begin{cases} 1 & \text{hvis } i=j \\ 0 & \text{hvis } i \neq j \end{cases}$$

Dvs: Vektorsettet  $\{\vec{V}_i\}$  ( $i=1,2,3,\dots$ ) er ortonormert dersom  $\vec{V}_i \cdot \vec{V}_j = \delta_{ij}$

På lignende vis sier vi at funktionssettet  $\{\Psi_n(x)\}$ ;  $n=1,2,3,\dots$  er ortonormert dersom

$$\langle \Psi_n, \Psi_k \rangle \equiv \int_{-\infty}^{\infty} \Psi_n^*(x) \Psi_k(x) dx = \delta_{nk}$$

(46)

Ulike egenfunksjoner til  $\hat{H}$  (med ulike tilhørende egenverdier  $E_n$ ) vil generelt være ortogonale. La oss vise dette i vårt eksempel, ved å regne ut integralet

$$\int_0^L \sin \frac{n\pi x}{L} \cdot \sin \frac{j\pi x}{L} dx \quad (\text{med } n \neq j)$$

Vi slår opp i feks. Rottmann, eller bruker Eulers formel til å skrive om integranden:

$$\begin{aligned} \sin \alpha \cdot \sin \beta &= \frac{1}{2i} (e^{i\alpha} - e^{-i\alpha}) \cdot \frac{1}{2i} (e^{i\beta} - e^{-i\beta}) \\ &= -\frac{1}{4} (e^{i(\alpha+\beta)} + e^{-i(\alpha+\beta)} - e^{i(\alpha-\beta)} - e^{-i(\alpha-\beta)}) \\ &= \frac{1}{2} \cos(\alpha-\beta) - \frac{1}{2} \cos(\alpha+\beta) \end{aligned}$$

[der vi brukte at  $\sin \alpha = \frac{1}{2i} (e^{i\alpha} - e^{-i\alpha})$ ,  
 $\cos \alpha = \frac{1}{2} (e^{i\alpha} + e^{-i\alpha})$ , samt  $i^2 = -1$ ]

Integralet ovenfor blir dermed

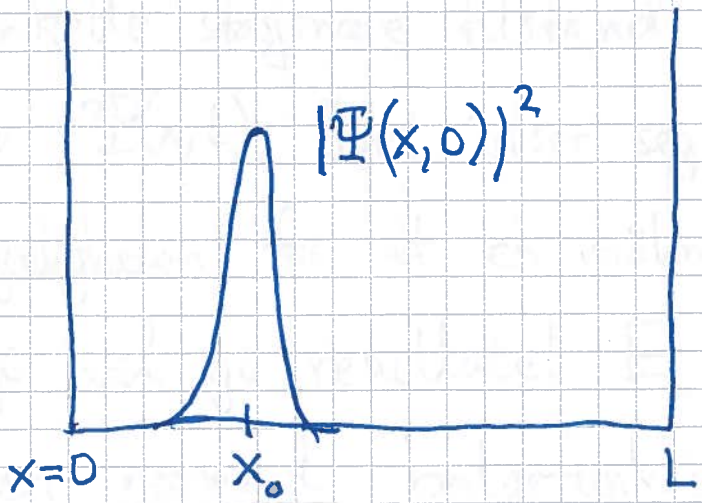
$$\frac{1}{2} \int_0^L \left( \cos \frac{(n-j)\pi x}{L} - \cos \frac{(n+j)\pi x}{L} \right) dx = 0$$

fordi vi får  $\sin \frac{(n \pm j)\pi x}{L}$ , som innsatt  $x=L$  og  $x=0$  i begge tilfelle gir 0.

## I ikke-stasjonære løsninger av SL

(47)

Anta at vi i vår endimensjonale "boks", med  $V=0$  på  $0 < x < L$  og  $V=\infty$  ellers, kunne foreta en serie med praktisk talt identiske forsøk, der vi lar en partikkel med masse  $m$  ved tid  $t=0$  starte i posisjon  $x_0$  med hastighet  $v_0$ , dus med impuls  $p_0 = m v_0$ . Hva da skulle vi beskrive dette, med kvantemekanikk? Heisenbergs uskarphetsprinsipp,  $\Delta x \cdot \Delta p \geq \frac{\hbar}{2}$ , forbyr oss å kjenne både  $x_0$  og  $p_0$  precist ved et gitt tidspunkt. Men vi kan tillate en viss usikkerhet  $\Delta x$  og  $\Delta p$  i vår kjennskap til partiklenes posisjon og impuls ved  $t=0$ . En "rimelig" sannsynlighetsfordeling  $|\Psi(x, 0)|^2$  ved  $t=0$  kunne da se omtrent slik ut:



Vi ser uten videre at  $\Psi(x, 0)$  ikke er en av de stasjonære tilstandene  $\Psi_n(x)$  som vi har funnet.

Samtidig vet vi at en partikkelen som befinner seg i denne boksen, ikke kan ha andre energier enn de egenverdiene  $E_n$  som vi har funnet.

Men da er det vel rimelig å anta at  $\Psi(x, 0)$  må kunne skrives som en sum (lineærkombinasjon) av stasjonære løsninger, dvs

$$\Psi(x, 0) = \sum_{n=1}^{\infty} c_n \Psi_n(x),$$

slik at partikkelen for senere tider,  $t > 0$ , beskrives av bolgefunktjonen

$$\Psi(x, t) = \sum_{n=1}^{\infty} c_n \Psi_n(x) e^{-i E_n t / \hbar}.$$

Koeffisientene  $c_n$  må da uttrykke i hvor stor grad den enkelte stasjonære tilstand bidrar til den totale  $\Psi(x, t)$ . Det viser seg at  $|c_n|^2$  gir sannsynligheten for at en måling av partikkelenens energi vil gi resultatet  $E_n$ , dersom  $\Psi(x, t)$  er en normert bolgefunktjon.

Det må selvsagt bety at

$$\sum_{n=1}^{\infty} |c_n|^2 = 1,$$

for en eller annen energivertdi må jo en måling av partikkelenes energi gi !

Hvis vi kjenner starttilstanden  $\Psi(x, 0)$ , er det "enkelt" å beregne koeffisientene  $c_n$ :

Vi ganger ligningen  $\Psi(x, 0) = \sum_n c_n \Psi_n(x)$  med  $\Psi_j^*(x)$  på begge sider og integrerer på begge sider over  $x$  fra  $-\infty$  til  $+\infty$ :

$$\int_{-\infty}^{\infty} \Psi_j^*(x) \Psi(x, 0) dx = \sum_n c_n \int_{-\infty}^{\infty} \Psi_j^*(x) \Psi_n(x) dx$$

Verdien av integralet på høyre side er  $\delta_{jn}$  (se s. 45), slik at høyre side blir

$$\sum_n c_n \delta_{jn} = c_j$$

Med andre ord:

$$c_j = \int_{-\infty}^{\infty} \Psi_j^*(x) \Psi(x, 0) dx ; \quad j = 1, 2, 3, \dots$$

La oss sjekke påstanden om at  $\sum_n |c_n|^2 = 1$ . (50)

Med normalert  $\Psi(x,t)$  og et ortonormert funksjonssett  $\{\Psi_n\}$  har vi:

$$\begin{aligned}
 1 &= \int_{-\infty}^{\infty} \Psi^*(x,t) \Psi(x,t) dx = \\
 &= \int_{-\infty}^{\infty} \left\{ c_1^* \Psi_1^*(x) e^{+iE_1 t/\hbar} + \dots \right\} \cdot \left\{ c_1 \Psi_1(x) e^{-iE_1 t/\hbar} + \dots \right\} dx \\
 &= |c_1|^2 \int_{-\infty}^{\infty} |\Psi_1(x)|^2 dx + |c_2|^2 \int_{-\infty}^{\infty} |\Psi_2(x)|^2 dx + \dots \\
 &\quad + c_1^* c_2 e^{i(E_1 - E_2)t/\hbar} \int_{-\infty}^{\infty} \Psi_1^*(x) \Psi_2(x) dx + \dots \\
 &= |c_1|^2 \cdot 1 + |c_2|^2 \cdot 1 + \dots + c_1^* c_2 e^{i(E_1 - E_2)t/\hbar} \cdot 0 + \dots \\
 &= |c_1|^2 + |c_2|^2 + \dots = \sum_n |c_n|^2 ; \text{ OK!}
 \end{aligned}$$

Oftest vil det være vanskelig/umulig å regne ut

$$\int_{-\infty}^{\infty} \Psi_n^*(x) \Psi(x,0) dx$$

analytisk ("eksakt"), men det er ikke vanskelig å tenke seg eksempler på  $\Psi(x,0)$  som gjør det relativt enkelt. Et konkret eksempel:  $\Psi(x,0) = \sqrt{2/L}$

for  $L/4 < x < 3L/4$  og  $\Psi(x,0) = 0$  ellers. Da er

f.eks.  $c_1 = \sqrt{2/L} \cdot \sqrt{2/L} \int_{L/4}^{3L/4} \sin(\frac{\pi x}{L}) \cdot 1 \cdot dx = \frac{2\sqrt{2}}{\pi}$ , og

$c_2 = c_4 = c_6 = \dots = 0$  (pga symmetri).

Men la oss her se på et eksempel der vi kjenner (51)

$c_1$  og  $c_2$ , mens  $c_3 = c_4 = \dots = 0$ . Hvordan vil da  $\Psi(x,t)$  og  $|\Psi(x,t)|^2$  oppføre seg?

Løsning:

$$\begin{aligned}
 |\Psi(x,t)|^2 &= |c_1 \Psi_1(x) e^{-iE_1 t/\hbar} + c_2 \Psi_2(x) e^{-iE_2 t/\hbar}|^2 \\
 &= \{c_1^* \Psi_1^* e^{iE_1 t/\hbar} + c_2^* \Psi_2^* e^{iE_2 t/\hbar}\} \cdot \\
 &\quad \{c_1 \Psi_1 e^{-iE_1 t/\hbar} + c_2 \Psi_2 e^{-iE_2 t/\hbar}\} \\
 &= |c_1|^2 \cdot |\Psi_1|^2 + |c_2|^2 \cdot |\Psi_2|^2 + \\
 &\quad c_1^* c_2 \Psi_1^* \Psi_2 e^{i(E_1 - E_2)t/\hbar} + \\
 &\quad c_1 c_2^* \Psi_1 \Psi_2^* e^{-i(E_1 - E_2)t/\hbar}
 \end{aligned}$$

Her er de to siste leddene kompleks konjugert av hverandre, og generelt er  $z + z^* = 2 \cdot \operatorname{Re} z$ . Her er  $\Psi_1$  og  $\Psi_2$  reelle funksjoner, og vi kan velge reelle  $c_1$  og  $c_2$ , slik at de to siste leddene blir

$$\begin{aligned}
 c_1 c_2 \Psi_1 \Psi_2 &\{e^{i(E_2 - E_1)t/\hbar} + e^{-i(E_2 - E_1)t/\hbar}\} \\
 &= 2 c_1 c_2 \Psi_1 \Psi_2 \cos \frac{(E_2 - E_1)t}{\hbar}
 \end{aligned}$$

La oss nå være helt konkrete og velge  $c_1 = c_2 = \frac{1}{\sqrt{2}}$  (slik at  $|c_1|^2 + |c_2|^2 = \frac{1}{2} + \frac{1}{2} = 1$ ). Da har vi

$$|\Psi(x,t)|^2 = \frac{1}{L} \sin^2 \frac{\pi x}{L} + \frac{1}{L} \sin^2 \frac{2\pi x}{L}$$

(52)

$$+ \frac{2}{L} \cdot \sin \frac{\pi x}{L} \cdot \sin \frac{2\pi x}{L} \cdot \cos \frac{(E_2 - E_1)t}{\hbar}$$

dvs en sannsynlighetstetthet som oscillerer med

vinkelfrekvens  $\omega = (E_2 - E_1)/\hbar = 3E_1/\hbar$ , dvs med

periode  $T = 2\pi/\omega = 2\pi\hbar/3E_1$ , som med  $E_1 = \pi^2 \hbar^2 / 2mL^2$

$$\text{blir } T = 4mL^2 / 3\pi\hbar.$$

Har vi riktig enhet?  $[mL^2/\hbar] = \text{kg} \cdot \text{m}^2 / \text{Js}$ , som med  
 $J = \text{Nm} = (\text{kg m/s}^2) \cdot \text{m} = \text{kg m}^2/\text{s}^2$  blir nettopp s.

Hva slags "tidsskala" snakker vi om? F.eks. for et elektron i en boks med lengde  $L = 10 \text{ nm}$ ?

Da blir

$$T = \frac{4 \cdot 9 \cdot 11 \cdot 10^{-31} \cdot (10^{-8})^2}{3 \cdot \pi \cdot 1.05 \cdot 10^{-34}} \quad s = \frac{36.44}{3.15\pi} \cdot 10^{-13} \text{ s}$$

$$\approx 3.6 \cdot 10^{-13} \text{ s} = \underline{0.36 \text{ ps}} \quad (\text{p} = \text{piko} = 10^{-12})$$

## På 1. samling :

- Historisk bakgrunn for QM
- Spesiell relativitetssteori
- Bohr - modellen
- de Broglie og "partikkelsbolger"
- Schrödingerligningen (SL og TUSL)
- Bølgefunksjon. Sannsynlighets tolkning
- Partikkel i boks :

Grensebetingelser

Energikvantisering

Symmetri

Ortonormerte bølgefunksjoner

Bølgepakker

---

På 2. samling : Det tida tillater !!

Inkl. et labbesøk (håper jeg).

## Kvantemekanikkens postulater

Empirisk grunnlag for klassisk mekanikk er Newtons lover.

Empirisk grunnlag for kvantemekanikk er følgende postulater :

### A. Operatorpostulat

Til en målbar størrelse i klassisk mekanikk,

$$F(q_1, q_2, \dots, q_N, p_1, p_2, \dots, p_N)$$

har vi i QM en lineær operator

$$\hat{F}(\hat{q}_1, \hat{q}_2, \dots, \hat{q}_N, \hat{p}_1, \hat{p}_2, \dots, \hat{p}_N)$$

Her er

$$\hat{q}_j = q_j = \text{operator for posisjonskoordinat } q_j$$

$$\hat{p}_j = \frac{\hbar}{i} \frac{\partial}{\partial q_j} = \text{impulskoordinat } p_j$$

Eks: En partikkel i en dimensjon.

$$N=1. \quad \hat{q}_1 = q_1 = x, \quad \hat{p}_1 = \frac{\hbar}{i} \frac{d}{dx}$$

Fysiske størrelseQM operator

$$x, y, z$$

$$p_x, p_y, p_z$$

$$\vec{p}$$

$$K = \vec{p}^2 / 2m$$

$$V(\vec{r})$$

$$E = K + V$$

$$\vec{L} = \vec{r} \times \vec{p}$$

$$L_x = y p_z - z p_y$$

$$L_y = z p_x - x p_z$$

$$L_z = x p_y - y p_x$$

$$\hat{x} = x, \quad \hat{y} = y, \quad \hat{z} = z$$

$$\hat{p}_x = \frac{\hbar}{i} \frac{\partial}{\partial x} \quad \text{etc.}$$

$$\hat{\vec{p}} = \frac{\hbar}{i} \vec{\nabla} = \frac{\hbar}{i} \left( \hat{x} \frac{\partial}{\partial x} + \hat{y} \frac{\partial}{\partial y} + \hat{z} \frac{\partial}{\partial z} \right)$$

$$\hat{K} = \hat{\vec{p}}^2 / 2m = -\frac{\hbar^2}{2m} \vec{\nabla}^2$$

$$= -\frac{\hbar^2}{2m} \left( \frac{\partial^2}{\partial x^2} + \frac{\partial^2}{\partial y^2} + \frac{\partial^2}{\partial z^2} \right)$$

$$\hat{V} = V(\vec{r})$$

$$\hat{H} = \hat{K} + \hat{V} = -\frac{\hbar^2}{2m} \vec{\nabla}^2 + V$$

$$\hat{\vec{L}} = \vec{r} \times \hat{\vec{p}} = \vec{r} \times \frac{\hbar}{i} \vec{\nabla}$$

$$\hat{L}_x = \frac{\hbar}{i} \left( y \frac{\partial}{\partial z} - z \frac{\partial}{\partial y} \right)$$

$$\hat{L}_y = \frac{\hbar}{i} \left( z \frac{\partial}{\partial x} - x \frac{\partial}{\partial z} \right)$$

$$\hat{L}_z = \frac{\hbar}{i} \left( x \frac{\partial}{\partial y} - y \frac{\partial}{\partial x} \right)$$

OSU.

## B. Tilstandspostulat

Systemets tilstand er fullstendig beskrevet ved bølgefunksjonen  $\Psi(q_1, q_2, \dots, q_N, t)$  som oppfyller ligningen

$$i\hbar \frac{\partial \Psi}{\partial t} = \hat{H} \Psi \quad (\text{SL})$$

der

$\hat{H} = \hat{K} + \hat{V}$  = systemets Hamiltonoperator (energioperator).

Eks: 1 partikkkel i 1D boks

$$\hat{H} = -\frac{\hbar^2}{2m} \frac{d^2}{dx^2} + V(x)$$

$$V(x) = \begin{cases} 0 & ; \quad 0 < x < L \\ \infty & ; \quad \text{ellers} \end{cases}$$

### C. Forventningsverdi postulat

Et stort antall målinger av en fysisk størrelse  $F$ , på systemer preparert i samme tilstand  $\Psi$ , vil gi en middelverdi som nørmer seg

$$\langle F \rangle = \int \Psi^* \hat{F} \Psi dq_1 dq_2 \dots dq_N$$

Eks: 1D boks, grunntilstanden ( $n=1$ )

$$\Psi_1(x,t) = \Psi_1(x) e^{-iE_1 t/\hbar}; \quad \Psi_1(x) = \sqrt{\frac{2}{L}} \sin \frac{\pi x}{L}$$

$$\begin{aligned} \langle x \rangle &= \int_0^L \Psi_1^*(x,t) x \Psi_1(x,t) dx \\ &= \int_0^L x |\Psi_1(x)|^2 dx = \dots = L/2 \end{aligned}$$

$$\begin{aligned} \langle p \rangle &= \int_0^L \Psi_1^* \left( \frac{\hbar}{i} \frac{d}{dx} \right) \Psi_1 dx \\ &\sim \int_0^L \sin \frac{\pi x}{L} \cdot \cos \frac{\pi x}{L} dx = 0 \end{aligned}$$

(pga antisymmetrisk integrand)

## D. Målepostulat

En måling av  $F$  kan bare gi som resultat en av egenverdiene  $f_j$ , dvs slik at

$$\hat{F} \Psi_j = f_j \Psi_j$$

Etter måling av  $F$ , der resultatet ble  $f_j$ , hører systemet i egentilstanden  $\Psi_j$ .

Dvs: Målingen påvirker systemet!

Eks: 1D boks. Anta en starttilstand

$$\Psi(x, t_0) = c_1 \Psi_1(x, t_0) + c_2 \Psi_2(x, t_0)$$

En energimåling ved  $t_1 > t_0$  vil da gi  $E_1$  eller  $E_2$ , med sannsynlighet hhv  $|c_1|^2$  og  $|c_2|^2$ .

Hvis målingen gav (f.eks)  $E_2$ , så er

$$\Psi(x, t) = \Psi_2(x, t) \text{ for } t > t_1.$$

# Usikkerhet og uskarphetsrelasjoner

Standardavvik er et vanlig mål for usikkerhet i en fysisk størrelse:

$$\Delta x = \sqrt{\langle (x - \langle x \rangle)^2 \rangle} \quad (\text{Root Mean Square Deviation})$$

Hensiktsmessig omskriving:

$$\begin{aligned} \langle (x - \langle x \rangle)^2 \rangle &= \langle x^2 - 2x\langle x \rangle + \langle x \rangle^2 \rangle \\ &= \langle x^2 \rangle - \langle x \rangle^2 \end{aligned}$$

$$\Rightarrow \boxed{\Delta x = \sqrt{\langle x^2 \rangle - \langle x \rangle^2}}$$

Standardaviket  
i størrelsen  $x$

For posisjon og impuls (postulat C):

$$\langle x^n \rangle = \int \Psi^* x^n \Psi dx = \int x^n |\Psi|^2 dx$$

$$\langle p^n \rangle = \int \Psi^* \left( \frac{\hbar}{i} \frac{\partial}{\partial x} \right)^n \Psi dx$$

Eks: Med "gaussisk" starttilstand  
 $\Psi(x, 0) = C \cdot e^{-\alpha(x-x_0)^2} \cdot e^{ip_0 x/\hbar}$  fås (gåing 2)

$\Delta x \cdot \Delta p = \hbar/2$ , som er minste teoretiske verdi for uskarphetsproduktet  $\Delta x \cdot \Delta p$ .

For to vilkårlige fysiske størrelser A og B, med QM operatorer  $\hat{A}$  og  $\hat{B}$ , kan en vise at

$$\Delta A \cdot \Delta B \geq \frac{1}{2} \cdot |\langle [\hat{A}, \hat{B}] \rangle|$$

der  $[\hat{A}, \hat{B}] \stackrel{\text{def}}{=} \hat{A}\hat{B} - \hat{B}\hat{A}$  = kommutatoren mellom  $\hat{A}$  og  $\hat{B}$ .

Eks:  $\hat{A} = \hat{x} = x$ ,  $\hat{B} = \hat{p} = \frac{\hbar}{i} \frac{\partial}{\partial x}$ . Vi beregner  $[\hat{x}, \hat{p}]$  ved å la den virke på en funksjon  $\Psi(x)$ .

$$\begin{aligned} [\hat{x}, \hat{p}]\Psi(x) &= x \frac{\hbar}{i} \frac{d}{dx} \Psi(x) - \frac{\hbar}{i} \frac{d}{dx} (x\Psi(x)) \\ &= \frac{\hbar}{i} x \frac{d\Psi}{dx} - \frac{\hbar}{i} \Psi - \frac{\hbar}{i} x \frac{d\Psi}{dx} = i\hbar \Psi(x) \end{aligned}$$

Dvs,  $[\hat{x}, \hat{p}] = i\hbar$ , som gir  $\Delta x \cdot \Delta p \geq \frac{1}{2} \cdot | \langle i\hbar \rangle | = \hbar/2$ , som er Heisenbergs uskarphetsrelasjon.

Merk: Hvis  $[\hat{A}, \hat{B}] = 0$ , er  $\Delta A \cdot \Delta B \geq 0$ , dvs det er (teoretisk) mulig å måle både A og B helt nøyaktig, samtidig. Eks:  $[x, \hat{p}_y] = 0 \Rightarrow x$  og  $\hat{p}_y$  kan måles nøyaktig samtidig

(61)

## Sannsynlighetsstrøm og -bevarelse

Sanns. tetthet:  $g(x,t) = |\Psi(x,t)|^2$ , med enheter

$$[g] = 1/m \text{ i 1D. } (1/m^3 \text{ i 3D})$$

$$\text{Normering: } \int_{-\infty}^{\infty} g(x,t) dx = 1$$

Hvis  $g$  endrer seg et sted, må det skyldes en netto strøm (inn eller ut) av sannsynlighet her:

$$\frac{j(x,t) \rightarrow g(x,t) \rightarrow j(x+dx,t)}{x \qquad x+dx}$$

Sanns. strøm ved pos.  $x$  ved tid  $t$ :  $j(x,t)$ ,

med enhet  $[j] = [\text{sanns.}/\text{tid}] = 1/s$  i 1D.

( $\frac{\text{sanns.}}{\text{tid} \cdot \text{flate}}$  i 3D, enhet  $1/s \cdot m^2$ )

Sanns. bevarelse er nå uttrykt via en såkalt kontinuitetsligning for sannsynlighet:

$$\boxed{\frac{\partial g}{\partial t} + \frac{\partial j}{\partial x} = 0} \quad 1D$$

(Vi har tilsvarende kont.lign. for ladning i elektromagnetisme, for masse i hydrodynamikk, etc.)

Det er "rett fram" å vise at  $SL$ ,

$i\hbar \frac{\partial \Psi}{\partial t} = \hat{H}\Psi$ , med  $g = \Psi^* \Psi$  gir

sanns. bevarelse, med sanns. strøm

$$j(x,t) = \text{Re} \left[ \Psi^*(x,t) \frac{1}{m} \frac{\hbar}{i} \frac{\partial}{\partial x} \Psi(x,t) \right]$$

Eks 1: Stasjonær tilstand i 1D boks ;  $j_n = ?$

$$\text{Løsn: } \Psi_n(x,t) = \sqrt{2/L} \sin(n\pi x/L) \exp(-iE_n t/\hbar)$$

Det som står inni [...] er rent imaginært  $\Rightarrow j_n = 0$

Som ventet: Ingen netto strøm knyttet til stående bølger.

Eks 2: Fri partikkkel,  $\Psi(x,t) = e^{ikx} \cdot e^{-iEt/\hbar}$ .

$$\text{Løsn: } \frac{\partial \Psi}{\partial x} = ik \cdot \Psi$$

$$\Rightarrow j = \text{Re} \left[ \frac{1}{m} \frac{\hbar}{i} ik \right] = \frac{\hbar k}{m} = P/m = v$$

Som ventet. (Her ble  $[j] = \text{m/s}$  fordi vi brukte en dimensjonslös  $\Psi$ .)

## Tidsutvikling av forventningsverdier

Fra SL følger at (så lenge  $\partial \hat{A} / \partial t = 0$ )

$$\frac{d}{dt} \langle A \rangle = \frac{i}{\hbar} \langle [\hat{H}, \hat{A}] \rangle$$

Hvis  $[\hat{H}, \hat{A}] = 0$ , er  $\langle A \rangle$  en bevegelseskonsant.

Eks: Fri partikkkel,  $\Psi(x) = e^{ipx/\hbar}$ ;  $\frac{d}{dt} \langle p \rangle = ?$

Nå er  $\hat{H} = \hat{p}^2/2m$ , slik at  $[\hat{H}, \hat{p}] = 0$ ,  
dvs  $\langle p \rangle = p = \text{konstant}$

## Klassiske bevegelsesligninger i 1D:

$$\frac{dx}{dt} = \frac{p}{m}; \quad \frac{dp}{dt} = -\frac{\partial V}{\partial x} \quad (= F)$$

I QM har vi tilsvarende lign. for  $\langle x \rangle$  og  $\langle p \rangle$ .

Vi må regne ut  $[\hat{H}, x]$  og  $[\hat{H}, \hat{p}]$ , med

$$\hat{H} = \hat{K} + \hat{V} = \hat{p}^2/2m + V(x):$$

$$[\hat{H}, x] = \frac{1}{2m} [\hat{p}^2, x] + \underbrace{[V(x), x]}_{=0}$$

$$\begin{aligned}
 [\hat{p}^2, x] &= \hat{p}^2 x - x \hat{p}^2 = \hat{p}(\hat{p}x) - (x\hat{p})\hat{p} \\
 &= \underbrace{\hat{p}(\hat{p}x)}_{= -i\hbar} - (\hat{p}x)\hat{p} + \underbrace{(\hat{p}x)\hat{p}}_{= -i\hbar} - (x\hat{p})\hat{p} \\
 &= \hat{p} \underbrace{(\hat{p}x - x\hat{p})}_{= -i\hbar} + \underbrace{(\hat{p}x - x\hat{p})\hat{p}}_{= -i\hbar} = -2i\hbar\hat{p}
 \end{aligned}$$

$$\Rightarrow \frac{d\langle x \rangle}{dt} = \frac{i}{\hbar} \frac{1}{2m} (-2i\hbar) \langle \hat{p} \rangle = \frac{\langle p \rangle}{m}$$

$$[\hat{H}, \hat{p}] = \frac{1}{2m} \underbrace{[\hat{p}^2, \hat{p}]}_{= 0} + [V(x), \hat{p}] = [V(x), \hat{p}]$$

$$\begin{aligned}
 [V(x), \hat{p}] \psi(x) &= V(x) \frac{\hbar}{i} \frac{\partial}{\partial x} \psi(x) - \frac{\hbar}{i} \frac{\partial}{\partial x} (V(x)\psi(x)) \\
 &= -\frac{\hbar}{i} \frac{\partial V}{\partial x} \cdot \psi(x)
 \end{aligned}$$

$$\Rightarrow \frac{d}{dt} \langle p \rangle = \frac{i}{\hbar} \left(-\frac{\hbar}{i}\right) \langle \frac{\partial V}{\partial x} \rangle = \langle -\frac{\partial V}{\partial x} \rangle$$

Oppsummert er dette Ehrenfests teorem:

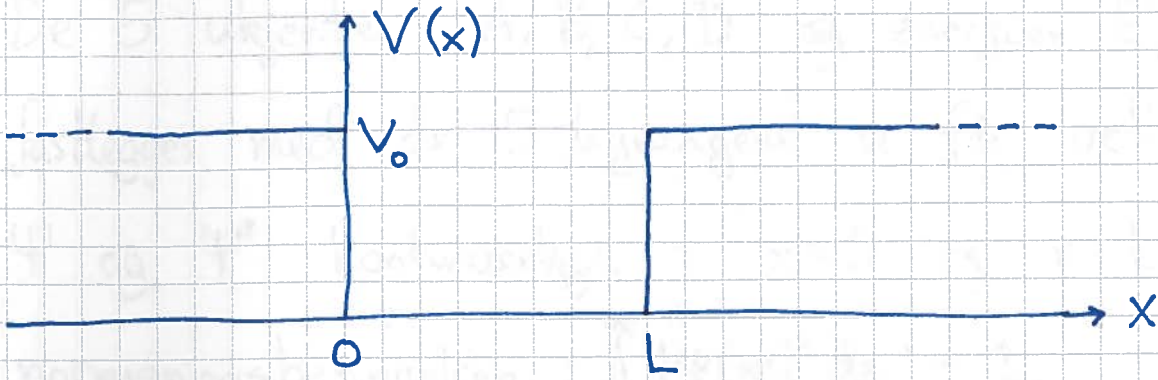
$$\boxed{\frac{d\langle x \rangle}{dt} = \frac{\langle p \rangle}{m} ; \quad \frac{d\langle p \rangle}{dt} = \langle -\frac{\partial V}{\partial x} \rangle}$$

ext. i 3D:

$$\frac{d\langle \vec{r} \rangle}{dt} = \frac{\langle \vec{p} \rangle}{m} ; \quad \frac{d\langle \vec{p} \rangle}{dt} = \langle -\nabla V \rangle$$

# Eksempler og anvendelser

## Endelig potensialbrønn



$$V(x) = 0 \text{ for } 0 < x < L ; \quad V(x) = V_0 \text{ ellers}$$

(Relevans: Halvledere. Nanoteknologi.)

$$\text{TUSL: } \hat{H} \Psi(x) = E \Psi(x)$$

$$\Rightarrow \Psi''(x) = \begin{cases} -\frac{2mE}{\hbar^2} \Psi(x) & ; \quad 0 < x < L \\ \frac{2m}{\hbar^2} (V_0 - E) \Psi(x) & ; \quad \text{ellers} \end{cases}$$

Med  $k = \sqrt{2mE}/\hbar$  og  $\beta E = \sqrt{2m(V_0 - E)}/\hbar$  blir

bundne tilstander, med  $E < V_0$ , på formen

$$\Psi(x) = \begin{cases} C \sin kx + D \cos kx & ; \quad 0 < x < L \\ A e^{\beta E x} + B e^{-\beta E x} & ; \quad \text{ellers} \end{cases}$$

Må her velge  $\Psi(x) = A e^{\beta ex}$  for  $x < 0$

og  $\Psi(x) = B e^{-\beta ex}$  for  $x > L$ , for å unngå at  $|\Psi| \rightarrow \infty$  når  $|x| \rightarrow \infty$ .

De 5 ukjente,  $A, B, C, D$  og energien  $E$ , fastlegges med de 5 ligningene vi får ved å kreve  $\Psi$  og  $\Psi'$  kontinuerlige i  $x=0$  og  $x=L$ , samt normeringsbetingelsen  $\int_{-\infty}^{\infty} |\Psi(x)|^2 dx = 1$ .

Gir symmetriske  $\Psi(x)$  med energier bestemt ved

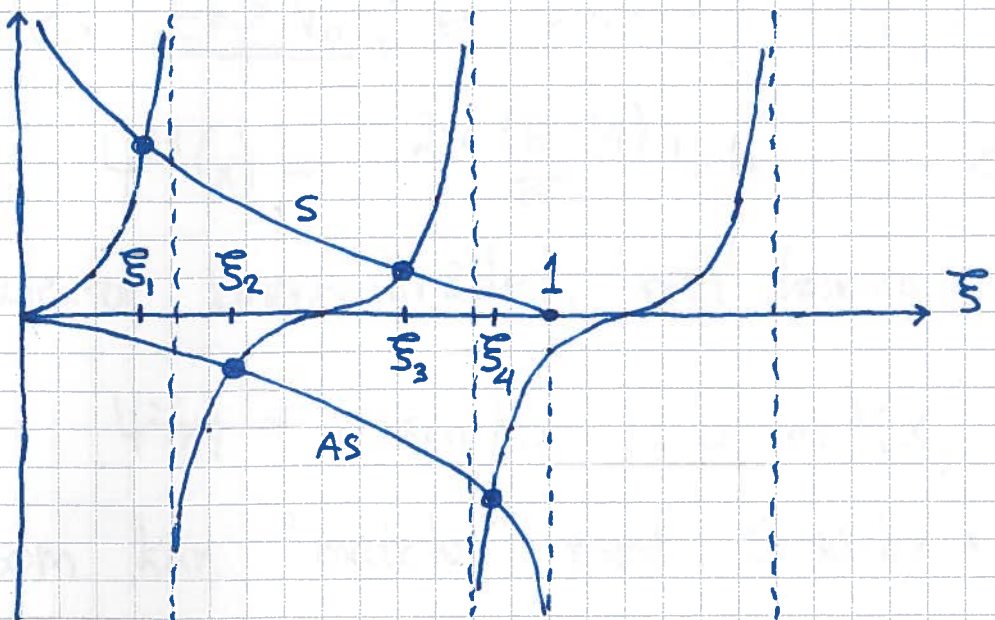
$$\tan(kL/2) = \beta e/k$$

og antisymmetriske  $\Psi(x)$  med energier bestemt ved

$$\tan(kL/2) = -k/\beta e$$

Disse kan ikke løses "på lukket form", men kan framstilles grafisk. Innfører den dim.lose størrelsen  $\xi = \sqrt{E/V_0} < 1$ , som gir ligningene

$$\tan\left(\xi \cdot \frac{\sqrt{2mV_0}}{2\hbar} L\right) = \begin{cases} -\sqrt{1-\xi^2}/\xi &; \text{symm.} \\ -\xi/\sqrt{1-\xi^2} &; \text{antisymm.} \end{cases}$$



- Alltid minst 1 bundet tilstand
- Vekselvis S, AS, S, ... for økende energi
- Flere bundne tilst  der jo dypere og bredere br  nn
- Her: 4 bundne tilst  der med energi  $E_n = V_0 \cdot \xi_n^2$
- Merk at  $|4|^2 > 0$  ogs   utenfor br  nnen, der  $E < V$ : Partikkelen kan "bes  ke" det klassisk forbudte omr  det!

Hvis  $E > V_0$ , er

$$\Psi''(x) = -\frac{2m(E-V_0)}{\hbar^2} \Psi(x) = -K^2 \Psi(x)$$

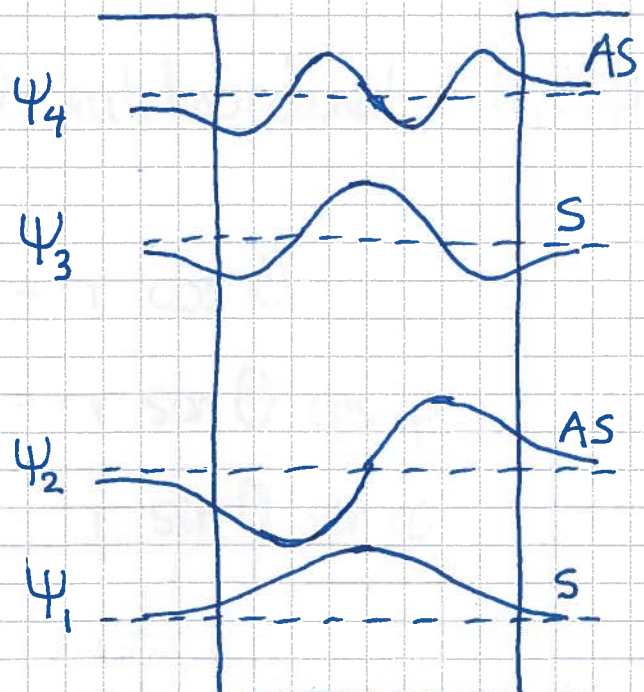
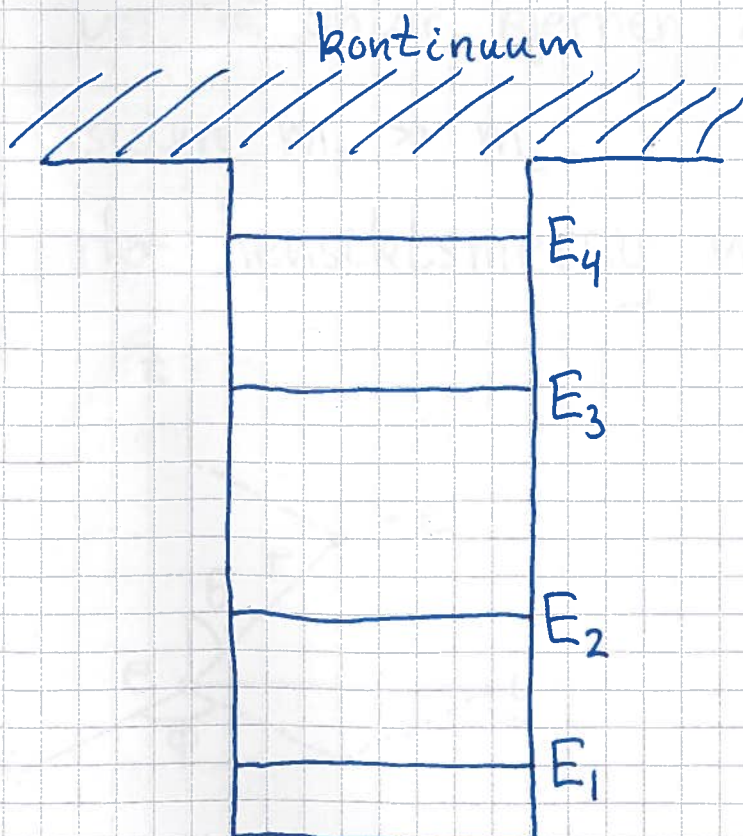
utenfor brønnonområdet, med løsning

$$\Psi(x) = a \sin Kx + b \cos Kx,$$

som kan "matches" med  $C \sin kx + D \cos kx$

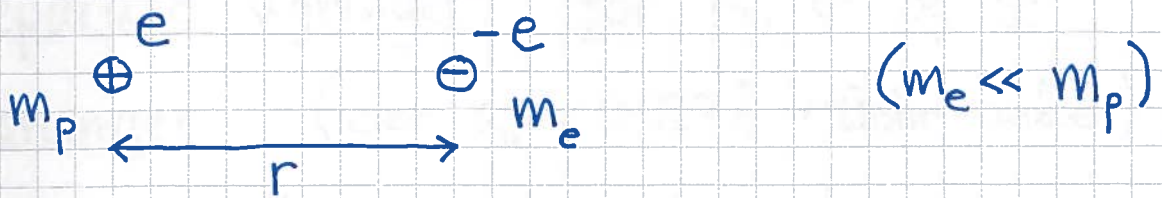
(dvs  $\Psi$  og  $\Psi'$  begge kontinuerlige i  $x=0$  og  $x=L$ )

for alle verdier av  $E > V_0$ . Dvs, vi har et  
kontinuerlig energispektrum for  $E > V_0$ .



## Goulombpotensialet

Vi gjør som Schrödinger og ser på H-atomet:



$$V(\vec{r}) = V(r) = -\frac{e^2}{4\pi\epsilon_0 r} \quad (\text{kulesymmetrisk})$$

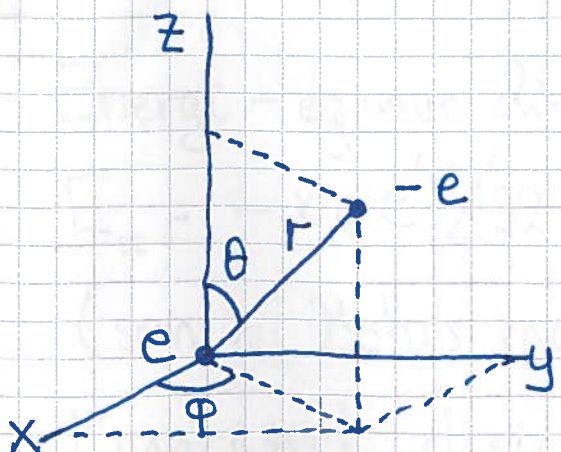
TUSL:  $\hat{H}\Psi = E\Psi$

med

$$\hat{H} = -\frac{\hbar^2}{2m_e} \nabla^2 - \frac{e^2}{4\pi\epsilon_0 r}$$

Dus, vi antar kjernen i ro; OK tilnærrelse siden  $m_p \gg m_e$ .

Her hensiktsmessig med kulekoordinater  $(r, \theta, \varphi)$ :



$$z = r \cos \theta$$

$$x = r \sin \theta \cos \varphi$$

$$y = r \sin \theta \sin \varphi$$

Schrödinger løste TUSL; vi nøyer oss med å se nærmere på løsningen.

TUSL har produktløsninger

$$\Psi(r, \theta, \varphi) = R(r) \cdot \Theta(\theta) \cdot \Phi(\varphi)$$

med separate ligninger for  $R$ ,  $\Theta$  og  $\Phi$

og løsninger (der  $a_0 \approx 0.529 \text{ \AA}$  = Bohr-radien)

$$R_{n\ell} (r) = e^{-r/a_0} \cdot \{ \text{polynom i } r/a_0 \}$$

$$\Theta_{\ell m_\ell} (\theta) = \text{polynom i } \sin \theta \text{ og/eller } \cos \theta$$

$$\Phi_{m_\ell} (\varphi) = e^{im_\ell \varphi}$$

Dvs tre kvantetall  $n, \ell, m_\ell$ :

$n = 1, 2, 3, \dots$  = hovedkvantetallet

$\ell = 0, 1, \dots, n-1$  = dreieimpulskvantetallet

$m_\ell = 0, \pm 1, \dots, \pm \ell$  = det magnetiske kvantetallet

Energi - egenverdier:

$$E_n = -m_e e^4 / 32 \pi^2 \epsilon_0^2 \hbar^2 n^2 \approx - \frac{13.6 \text{ eV}}{n^2}$$

(som i Bohrs modell)

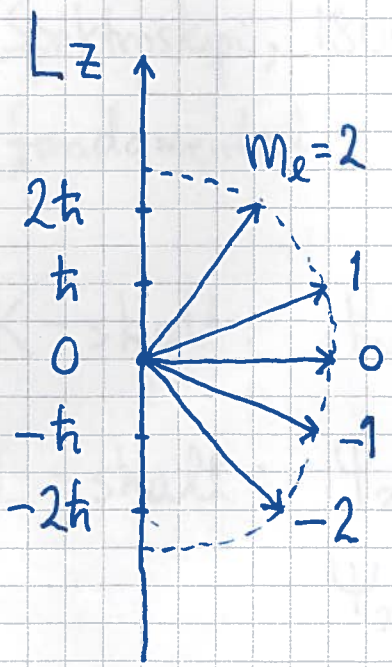
Kvantisert dreieimpuls:

$$L = |\vec{L}| = \sqrt{\ell(\ell+1)} \hbar = 0, \sqrt{2} \hbar, \sqrt{6} \hbar, \dots, \sqrt{n(n-1)} \hbar$$

Kvantisert en komponent av  $\vec{L}$ , her valgt i z-retning:

$$L_z = m_e \hbar = 0, \pm \hbar, \pm 2\hbar, \dots, \pm l\hbar$$

Eks: Hvis  $l=2$ , er  $L = \sqrt{6} \hbar$ , og  $L_z$  kan ha 5 ulike verdier.



Hvis H-atomet befinner seg i en gitt tilstand  $\Psi_{n, m_e}$ , betyr det at både  $E$ ,  $L$  og  $L_z$  er skarpe samtidig. Da må  $\hat{H}$ ,  $\hat{L}$  og  $\hat{L}_z$  kommutere innbyrdes (s. 60), noe de gjør! (Så lenge  $V$  er isotrop,  $V = V(r)$ .)

Men: Med skarp  $L_z$  er både  $L_x$  og  $L_y$  uskarpe!

$\hat{L}_x$ ,  $\hat{L}_y$  og  $\hat{L}_z$  kommuterer ikke innbyrdes:

$$[\hat{L}_x, \hat{L}_y] = i\hbar \hat{L}_z, [\hat{L}_y, \hat{L}_z] = i\hbar \hat{L}_x,$$

$$[\hat{L}_z, \hat{L}_x] = i\hbar \hat{L}_y$$

Notasjon:

|       |   |   |   |   |     |
|-------|---|---|---|---|-----|
| $n$   | 1 | 2 | 3 | 4 | ... |
| skall | K | L | M | N |     |

Økende  $n \Rightarrow$  økende utstrekning:  $\langle \frac{1}{r} \rangle^{-1} = n^2 a_0$ .

|         |   |   |   |   |   |   |     |
|---------|---|---|---|---|---|---|-----|
| $l$     | 0 | 1 | 2 | 3 | 4 | 5 | ... |
| bokstav | s | p | d | f | g | h |     |

(Spektroskopi, 1800-tallet: sharp, principal, diffuse, fundamental; deretter alfabetisk)

K-skall:  $\Psi_{100} = 1s$

L-skall:  $\Psi_{200} = 2s$

$\Psi_{21-1}, \Psi_{210}, \Psi_{211} = 2p$

M-skall:  $\Psi_{300} = 3s$

$\Psi_{31-1}, \Psi_{310}, \Psi_{311} = 3p$

$\Psi_{32-2}, \Psi_{32-1}, \Psi_{320}, \Psi_{321}, \Psi_{322} = 3d$

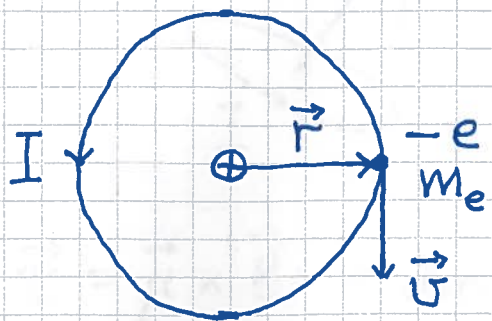
Degenerasjonsgrad:  $g_n =$  antall ulike tilstander

$\Psi_{n\ell m_\ell}$  med lik energi  $E_n$ ;  $g_1 = 1, g_2 = 4, g_3 = 9, \dots$

dvs  $g_n = n^2$ .

# Elektroner i magnetfelt ; spinn

(73)



$$\text{Strøm: } I = \frac{q}{T} = \frac{e}{\frac{2\pi r}{v}} = \frac{ev}{2\pi r}$$

$$\text{Dreieimpuls: } L = rm_e v$$

Magnetisk dipolmoment:

$$\mu = IA = \frac{ev}{2\pi r} \cdot \pi r^2 = \frac{1}{2} evr$$

$$\Rightarrow \vec{\mu} = -\frac{e}{2m_e} \vec{L}$$

$$\text{Gyromagnetisk forhold: } \mu/L = e/2m_e$$

$$\text{Bohr: } L = n\hbar; \quad n=1, 2, 3, \dots$$

$$\Rightarrow \mu = n \cdot \frac{e\hbar}{2m_e} = n \cdot \mu_B$$

$$\text{med } \mu_B = e\hbar/2m_e = 1 \text{ Bohr-magneton}$$

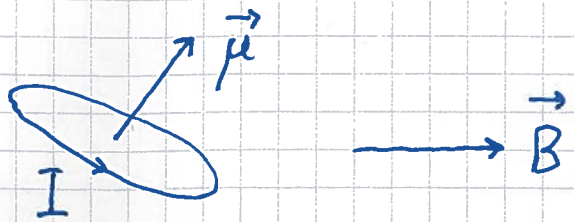
$$\approx 9.27 \cdot 10^{-24} \text{ Am}^2$$

$$\text{Schrödinger: } L = \sqrt{l(l+1)} \hbar; \quad l=0, 1, \dots, n-1$$

$$L_z = m_e \hbar; \quad m_e = 0, \pm 1, \dots, \pm l$$

# Magnetisk dipol i magnetfelt $\vec{B}$ : (FY6017)

74



$$\vec{\chi} = \vec{\mu} \times \vec{B} = \text{dreiemoment på dipolen}$$

$$V = -\vec{\mu} \cdot \vec{B} = \text{dipolens potensielle energi}$$

$\Rightarrow$  Lavest energi med  $\vec{\mu} \parallel \vec{B}$

$$\vec{F} = -\nabla V = \nabla(\vec{\mu} \cdot \vec{B}) = \text{kraft på dipolen}$$

$\Rightarrow \vec{F} = 0$  i uniformt  $\vec{B}$ -felt

—————

## Zeeman - effekten (P. Zeeman 1897; NP 1902):

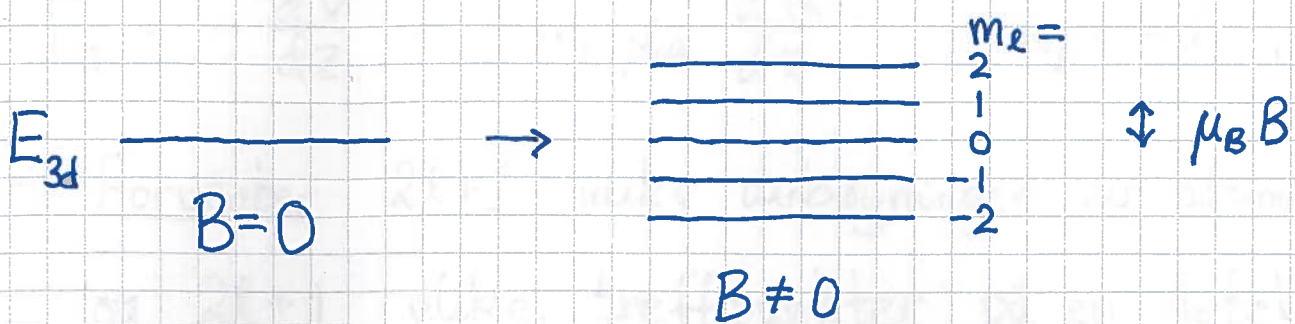
Hvis H-atomer med  $\vec{\mu} = (-e/2m_e) \vec{L}$  plasseres i magnetfelt  $\vec{B} = B \hat{z}$ , har de et bidrag til pot. energi,

$$V = -\vec{\mu} \cdot \vec{B} = \frac{e}{2m_e} L_z B = m_\ell \cdot \frac{e\hbar}{2m_e} \cdot B = m_\ell \mu_B B$$

der  $m_\ell = 0, \pm 1, \pm 2, \dots, \pm l$ . Gir oppsplitting

av energinivåer med  $l > 0$ , i  $2l+1$  nivåer.

Eks:  $3d$ ;  $\ell = 2$ ;  $m_\ell = 0, \pm 1, \pm 2$



Liten (men målbar) effekt:

Med  $B = 1\text{ T}$  (et ganske sterkt magnetfelt) er

$$\Delta E = \mu_B B = 9.27 \cdot 10^{-24} \text{ J} \approx 6 \cdot 10^{-5} \text{ eV}$$

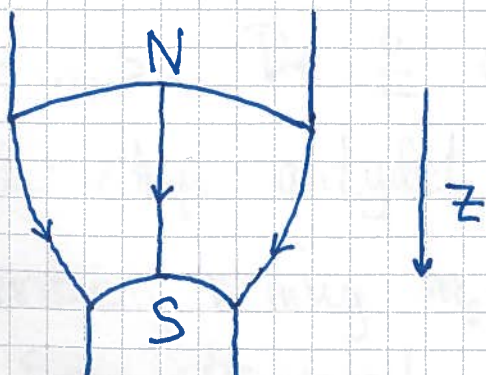
Til sammenligning er f.eks.

$$E_{3d} - E_{2p} = 13.6 \text{ eV} \cdot \left( -\frac{1}{3^2} + \frac{1}{2^2} \right) \approx 2 \text{ eV}$$

Stern - Gerlach - eksperimentet

(1922; O. Stern NP 1943):

Sendte (solv-) atomer gjennom område med  
inhomogen magnetfelt  $\vec{B}(z)$ :



Kraft på atomene :

$$F_z = -\frac{dV}{dz} = -m_e \mu_B \frac{dB_z}{dz}; m_e = -l, \dots, 0, \dots, l$$

$\Rightarrow$  Forventer  $2l+1$  ulike avbøyninger av atomene og  $2l+1$  ulike treffpunkter på en detektor plassert bak magneten.

Eksperimentene gav  $\underline{\underline{2}}$  treffpunkter (striper) !

Goudsmit og Uhlenbeck foreslo (i 1925) at elektronet har en indre dreieimpuls - et spinn -  $\vec{S}$ , med et tilhørende magnetisk dipolmoment  $\vec{\mu}_s$ . I analogi til en kvantisert (bane-)dreieimpuls med  $L = |\vec{L}| = \sqrt{l(l+1)} \hbar$  og  $L_z = m_l \hbar$ , med  $m_l = -l, \dots, 0, \dots, +l$ , foreslo de at spinnet også er kvantisert, med

$$S = |\vec{S}| = \sqrt{s(s+1)} \hbar \quad \text{og} \quad S_z = m_s \hbar$$

med  $m_s = -s, \dots, s$ . De  $\underline{\underline{2}}$  avbøyningene i Stern-Gerlach-eksp. antydet at  $m_s$  bare har  $\underline{\underline{2}}$  mulige verdier, nemlig  $m_s = -\frac{1}{2}$  og  $m_s = \frac{1}{2}$ , dvs  $s = \frac{1}{2}$ . Som stemmer!

## Kommentarer :

- "Klassisk" forventer vi nå at  $\vec{\mu}_s = -\frac{e}{2m_e} \vec{S}$   
(siden  $\vec{\mu}_L = -\frac{e}{2m_e} \vec{L}$ )
- Eksperimenter gir  $\vec{\mu}_s \approx -\frac{e}{m_e} \vec{S}$ ; meget gode  
exp. gir gyromagnetisk faktor

$$g_s = 2.002319304374 \pm 8 \cdot 10^{-12}$$

når vi skriver

$$\vec{\mu}_s = g_s \cdot \left(\frac{-e}{2m_e}\right) \vec{S}$$

- Relativistisk QM (dvs Dirac-ligningen)

gir  $g_s = 2$ .

- Kvantelektronodynamikk (QED) gir

$$g_s = 2.00231930$$

- Også protonet og nøytronet er "spinn- $\frac{1}{2}$ -partikler", med  $s = \frac{1}{2}$  og  $m_s = \pm \frac{1}{2}$ . Gyromagnetisk faktor er hvr  $g_p = 5.59$  og  $g_n = -3.83$ , dvs

$$\vec{\mu}_p = 5.59 \cdot \frac{e}{2m_p} \vec{S}_p ; \quad \vec{\mu}_n = -3.83 \cdot \frac{e}{2m_n} \vec{S}_n$$

- Total dreieimpuls for elektron i tilstand med dreieimpulskvantetall  $\ell$ :

$$\vec{J} = \vec{L} + \vec{S}$$

med kvantisert  $J = |\vec{J}| = \sqrt{j(j+1)} \hbar$

og  $J_z = m_j \hbar$ ;  $m_j = -j, -j+1, \dots, j-1, j$

Her kan  $\vec{S}$  peke i (mer eller mindre) samme retning som  $\vec{L}$  eller (mer eller mindre) motsatt retning av  $\vec{L}$ , slik at  $j = \ell + \frac{1}{2}$  eller  $j = \ell - \frac{1}{2}$ . (Bare  $j = \frac{1}{2}$  dersom  $\ell = 0$ .)

Eks: H-atom med elektronet i en tilstand med  $\ell = 1$ . Da er  $j = \frac{1}{2}$  eller  $j = \frac{3}{2}$ .

Hvis derimot atomet er i grunntilstanden, dvs

$\psi_{100}$ , er  $\ell = 0$ . Da er  $j = \frac{1}{2}$  og  $\vec{J} = \vec{S}$

og  $J_z = S_z$ , dvs  $m_j = m_s = \pm j = \pm s = \pm \frac{1}{2}$ , som vi typisk betegner hhv "spinn opp" ( $m_s = \frac{1}{2}$ ) og "spinn ned" ( $m_s = -\frac{1}{2}$ ).

# Pauliprinsippet

(79)

Elektroner (og andre typer elementærpartikler) er identiske: Ombytte av to elektroner har ingen målbar konsekvens. Dermed:

$$|\Psi(1,2)|^2 = |\Psi(2,1)|^2$$

der 1 og 2 representerer koordinatene til elektron nr 1 og 2,  $1 \hat{=} (\vec{r}_1, s_1)$  og  $2 \hat{=} (\vec{r}_2, s_2)$ .

To muligheter:

Bosoner: Symmetrisk  $\Psi$  ved ombytte  $1 \leftrightarrow 2$

$$\Psi(1,2) = \Psi(2,1)$$

Eks: Fotonet

Fermioner: Antisymmetrisk  $\Psi$  ved ombytte  $1 \leftrightarrow 2$

$$\Psi(1,2) = -\Psi(2,1)$$

Eks: Elektronet, protonet, nøytronet

Et system med to elektroner kan da beskrives med bølgefunksjonen

$$\Psi_A(1,2) = \frac{1}{\sqrt{2}} \left\{ \phi_i(1) \phi_j(2) - \phi_i(2) \phi_j(1) \right\}$$

der  $\phi_i$  og  $\phi_j$  er to vilkårlige enpartikkeltilstander.

Da ser vi at dersom de to elektronene er i samme enpartikkeltilstand, dvs  $\Phi_i = \Phi_j$ , så blir  $\Psi_A(1,2) = 0$  !!

Konklusjon:

I et system med to (eller flere) elektroner må alle elektronene befinne seg i ulike enpartikkeltilstander.

Dette er Paulis eksklusjonsprinsipp.

Vi må huske at hver enpartikkeltilstand  $\Phi_j$  avhenger av både romlige koordinater  $\vec{r}$  og spinenkoordinaten  $s$ , dvs

$$\Phi_j(\vec{r}, s) = \Psi(\vec{r}) \cdot \chi_{m_s}(s)$$

med romlig orbital  $\Psi(\vec{r})$  og spinfunksjon  $\chi_{m_s}(s)$ .

For elektroner er  $s = 1/2$  og  $m_s = \pm 1/2$ .

Det innebærer at hver romlige orbital  $\Psi(\vec{r})$  kan kombineres med  $\chi_{1/2}$  og  $\chi_{-1/2}$ , og dermed okkuperes av inntil 2 elektroner.

## Atomer og det periodiske system

For H-atomet "løste" vi TUSL og fant de romlige orbitalene  $\Psi_{n\ell m_\ell}(\vec{r})$ , dvs  $\Psi_{100}(1s)$ ,  $\Psi_{200}(2s)$ ,  $\Psi_{21-1}, \Psi_{210}, \Psi_{211}(2p)$  osv.

For atomer med to eller flere elektroner klarer vi ikke å løse TUSL eksakt, men numeriske løsningsmetoder viser at vi får en lignende "struktur" som i H-atomet, med en kulesymmetrisk 1s-tilstand med lavest energi osv. I følge Pauliprinsippet vil da f.eks He-atomet, med 2 elektroner, ha en grunntilstand med begge elektronene i denne 1s-tilstanden, ett med spinn opp ( $\chi_{1/2}$ ) og ett med spinn ned ( $\chi_{-1/2}$ ). Totalt spinn i He-atomet er derfor null, og siden begge elektronene har  $l=0$ , blir total dreieimpuls for de to elektronene lik null.

Vi angir elektronkonfigurasjonen til He som  $1s^2$ .

Li har tre elektroner; nr 3 kan ikke være i 1s-orbitalen, men må okkupere orbitalen med nest lavest energi, 2s. Giv elektronkonfig. for Li :  $1s^2 2s$

Osu: Be  $1s^2 2s^2$

B  $1s^2 2s^2 2p$

C  $1s^2 2s^2 2p^2 \dots$

- He (2 el.), Ne (10), Ar (18), Kr (36), Xe (54)

Har fylte skall, elektronkonfig. hhv  $1s^2$ ,

$1s^2 2s^2 2p^6$ ,  $1s^2 2s^2 2p^6 3s^2 3p^6$ ,  $1s^2 2s^2 2p^6 3s^2 3p^6 3d^{10}$   
 $4s^2 4p^6$

og  $1s^2 2s^2 2p^6 3s^2 3p^6 3d^{10} 4s^2 4p^6 4d^{10} 5s^2 5p^6$

Har liten ønske om å dele sine elektroner med andre atomer. Er derfor edelgasser; ikke reaktive.

- Li, Na, K, ...

Ett svakt bundet elektron i ytterste skall, som lett kan avgis / deles med et annet atom, f.eks. et halogen.

- F, Cl, Br, ...

Halogener. Mangler ett elektron i ytterste skall, tar gjerne i mot et elektron, f.eks. fra Li, Na, K, ...  
(Høy elektronegativitet.)

⇒ Danner salter som NaCl, LiF osv

- 83
- Tilfeldig at  $E$  ikke avhenger av  $l$  (bare  $n$ )  
i H-atomet. I atomer med to eller flere elektroner  
er  $E_{2s} < E_{2p}$  osv. Ofte er  $E_{4s} < E_{3d}$  osv,  
men ikke alltid.
  - Hund's regel: Grunntilstanden i et atom har  
så stort totalspinn som mulig, bare Pauliprinsippet  
er oppfylt.

Eks:

|   | 2s                   | 2p         |            |  |    |
|---|----------------------|------------|------------|--|----|
| C | $\uparrow\downarrow$ | $\uparrow$ | $\uparrow$ |  |    |
|   | $\uparrow\downarrow$ |            |            |  |    |
|   |                      |            |            |  | 1s |

|   |                      |            |            |            |  |
|---|----------------------|------------|------------|------------|--|
| N | $\uparrow\downarrow$ | $\uparrow$ | $\uparrow$ | $\uparrow$ |  |
|   | $\uparrow\downarrow$ |            |            |            |  |

|   |                      |                      |            |            |  |
|---|----------------------|----------------------|------------|------------|--|
| O | $\uparrow\downarrow$ | $\uparrow\downarrow$ | $\uparrow$ | $\uparrow$ |  |
|   | $\uparrow\downarrow$ |                      |            |            |  |

Begrunnelse: Lavest totalenergi oppnås med å  
minimere frastøtningen mellom elektronene. Oppnås med  
så antisymmetrisk romlig (orbital) bølgefunktjon som  
mulig. Da må spennelsen være så symmetrisk som mulig,  
som oppnås med mest mulig parallele spinn.

## Utvalegsregler for strålingsoverganger

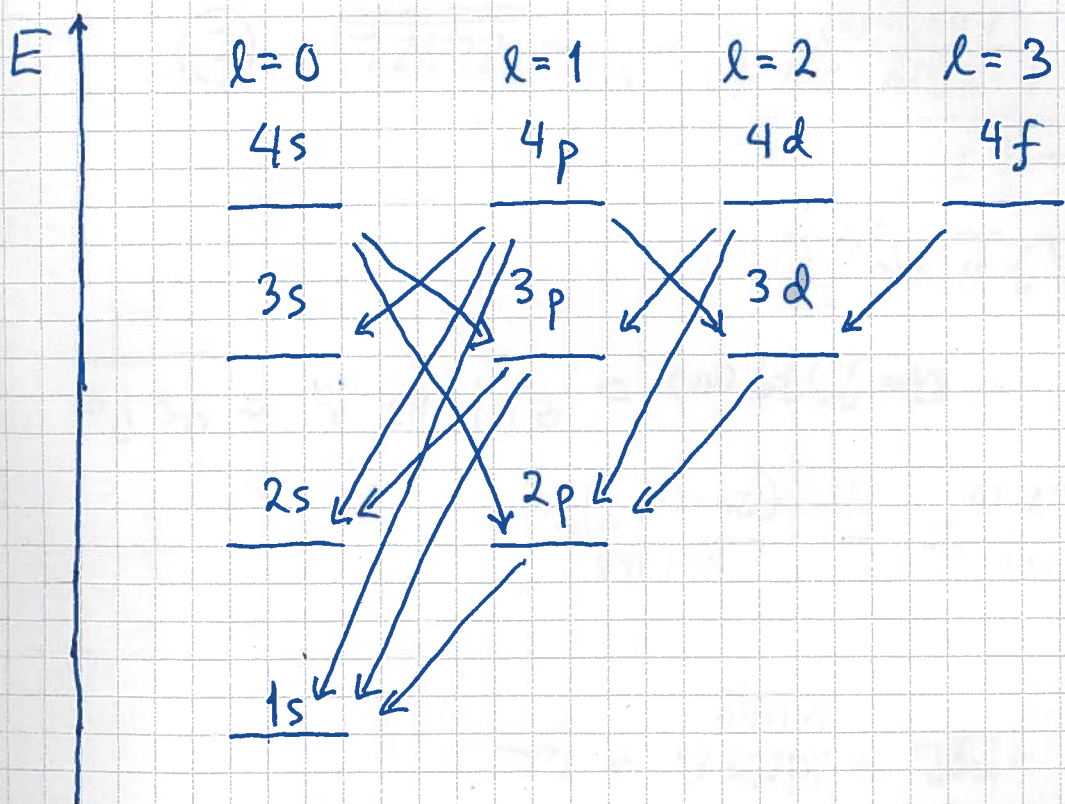
Fotonet er en partikkkel med heltallig spinn lik 1.

Når et atom absorberer eller emitterer et foton, må systemets totale dreieimpuls være bevart. Tillatte "overganger"

oppfyller utvalgsreglene

$$\Delta l = \pm 1 ; \Delta m_l = 0, \pm 1$$

Nivåskjema for H-atomet :



Levetid for elektron i 2p : ca 1 ns

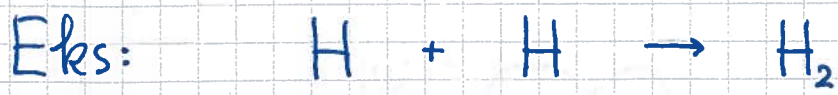
—||— 2s : ca 0.1 s ( $\approx \infty$ )

Balmerserien: Fra  $n > 2$  til 2

Lyman —||—: Fra  $n > 1$  til 1

Paschen —||—: Fra  $n > 3$  til 3

# Fra atomer til molekyler og faste stoffer



H-atom: Elektronet i atomær orbital  $1s (\Psi_{1,00})$  med spinn opp ( $\chi_{1/2}; \uparrow$ ) eller ned ( $\chi_{-1/2}; \downarrow$ )

$H_2$ -molekyl: Elektronene i molekylorbitaler, inntil to i en gitt orbital, ett  $\uparrow$  og ett  $\downarrow$ .

Ikke mulig å regne ut eksakte molekylorbitaler, men rimelig å uttrykke dem som lineærkombinasjoner av atomære orbitaler i H-atomet.

$\Psi$  = molekylorb. (MO) = enpartikkelt tilstand i molekylet

$\phi$  = atomær orb. (AO) = — " — atomet

Pga symmetrien til  $H_2$ -molekylet må vi lage symmetriske

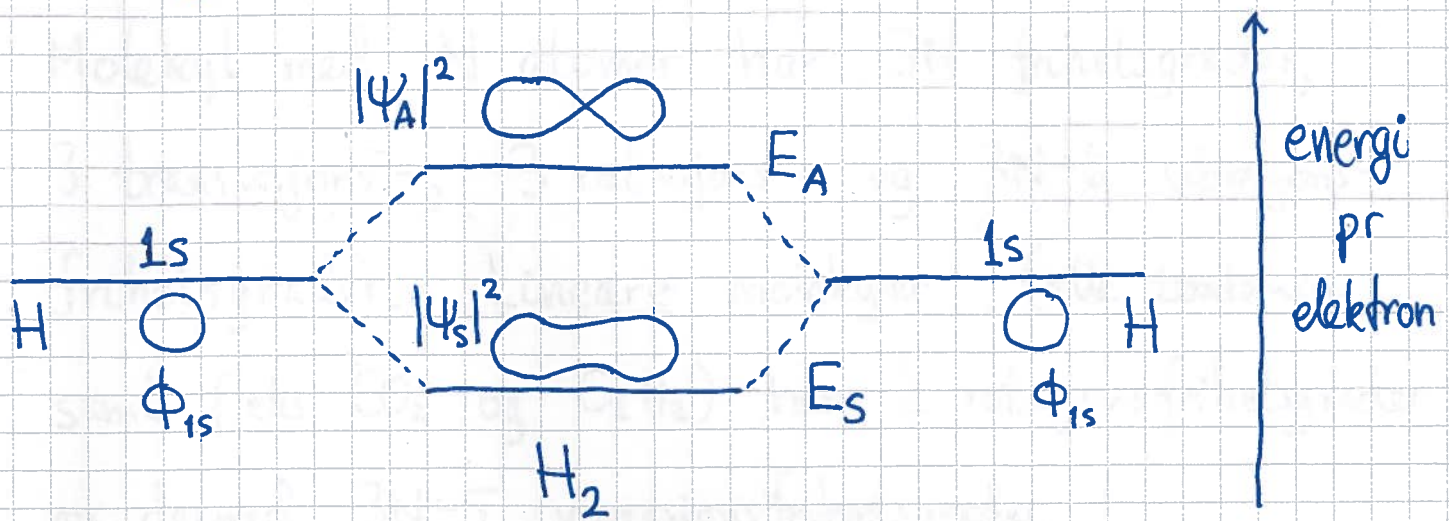
$|\Psi|^2$  av  $\phi_{1s}$  i de to H-atomene:

$$\Psi_s = \phi_{1s}^{(1)} + \phi_{1s}^{(2)} = \text{"bindende" MO}$$

$$\Psi_A = \phi_{1s}^{(1)} - \phi_{1s}^{(2)} = \text{"antibindende" MO}$$

Grunntilstanden i  $H_2$  er da begge elektroner i den MO som har lavest energi, ett  $\uparrow$  og ett  $\downarrow$ . Beregninger gir  $E_s < E_A$ .

## Energidiagram :



Fra "partikkel i boks": Økende energi med økende antall nullpunkter i  $\Psi(x)$ .

Tilsvarende for MO: Økende energi med økende antall "nodeplan" (dvs: der  $\Psi=0$ ).

Her har  $\Psi_s$  ingen nodeplan, mens  $\Psi_A$  har ett  
 $\Rightarrow E_s < E_A$

Stabilt molekyl H<sub>2</sub> fordrer at

$$\Delta E = E(H_2) - 2E(H) < 0$$

Exp. er  $\Delta E \approx -4.5$  eV, som blir bindingsenergien til H<sub>2</sub>-molekylet.

## Molekyler og spektroskopi

Molekyl med  $N$  atomer har  $3N$  frihetsgrader, 3 transaksjons-, 3 rotasjons- og  $3N-6$  vibrasjonsfrihetsgrader. Lineære molekyler (alle toatomige, samt f.eks.  $\text{CO}_2$  og  $\text{C}_2\text{H}_2$ ) har 2 rotasjonsfrihetsgrader og dermed  $3N-5$  vibrasjonsfrihetsgrader.

### Translasjon:

Kvantisert energi  $K_{\text{trans}}$  i f.eks. en liten potensialboks, men normalt et kontinuerlig spektrum for  $K_{\text{trans}}$ .

### Rotasjon:

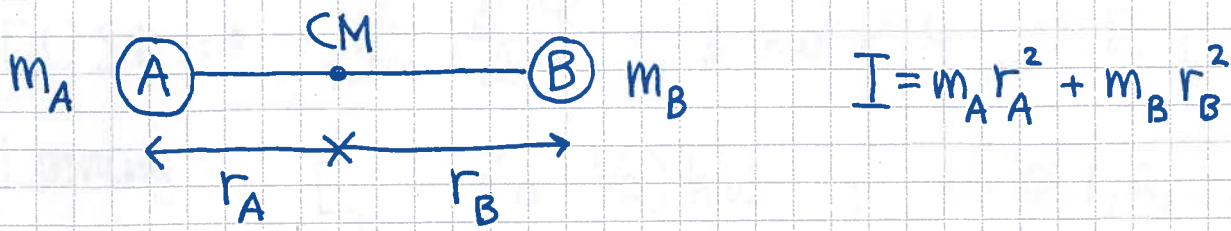
Kvantisert energi  $K_{\text{rot}}$  fordi dreieimpulsen er kvantisert:

$$L = I\omega ; \quad I = \text{treghetsmoment}, \quad \omega = \text{vinkelfart}$$

$$K_{\text{rot}} = \frac{1}{2} I\omega^2 = \frac{1}{2} I(L/I)^2 = L^2/2I$$

Siden  $L^2 = l(l+1)\hbar^2$  (med  $l=0,1,2,\dots$ ) er

$$K_{\text{rot}}^{(l)} = l(l+1)\hbar^2/2I$$



$$I = m_A r_A^2 + m_B r_B^2$$

Eks: CO;  $K_{\text{rot}}^{(l)} = l(l+1) \cdot 0.24 \text{ meV}$   
 $= 0, 0.48 \text{ meV}, 1.44 \text{ meV}, \dots$

Uttalgsregel ved absorpsjon/emisjon av foton:  $\Delta l = \pm 1$

### Vibrasjon:

Enklast å se på toatomic molekyl:



Tilnærmet en enkel harmonisk oscillator med potensial

$$V(x) = \frac{1}{2} m \omega^2 x^2 \quad (k = m \omega^2)$$

der  $x$  = avviket fra likevekts-bindingslengden

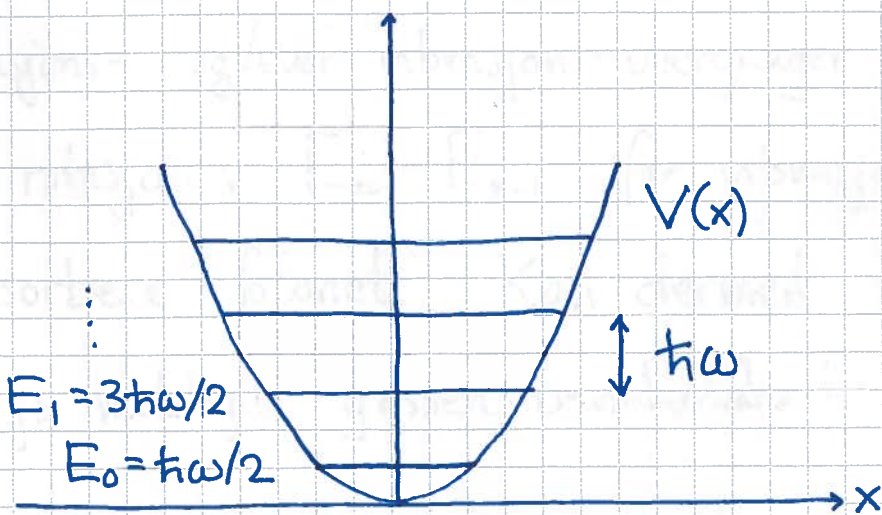
$m = m_A \cdot m_B / (m_A + m_B) =$  molekylets  
 reduserte masse (kun relativ bevegelse  
 avgjør verdien av  $x$ )

$$TUSL: -\frac{\hbar^2}{2m} \frac{d^2\psi}{dx^2} + \frac{1}{2} m\omega^2 x^2 \psi = E \psi$$

(89)

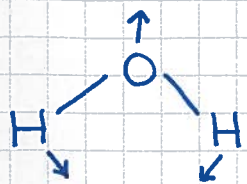
Løsning:  $E_n = (n + \frac{1}{2})\hbar\omega$ ;  $n = 0, 1, 2, \dots$

(se f.eks. PCH 3.5 for tilhørende bølgefunk.  $\Psi_n(x)$ )



Med  $N=2$  atomer har molekylet kun  $3N-5 = 1$  frihetsgrad knyttet til vibrasjon. Med  $N \geq 3$  atomer kan molekylet vibrere i  $3N-6$  (eut  $3N-5$ ) såkalte normale modér (da de ulike vibrasjonsbevegelsene på sett og vis er ortogonale).

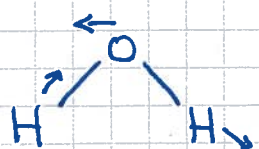
Eks:  $H_2O$ ;  $N=3 \Rightarrow 3N-6 = 9-6 = 3$  normale modér



"bøy"



"symmetrisk strekk"



"asymmetrisk strekk"

$$\frac{1}{\lambda} \approx 1600 \text{ cm}^{-1}$$

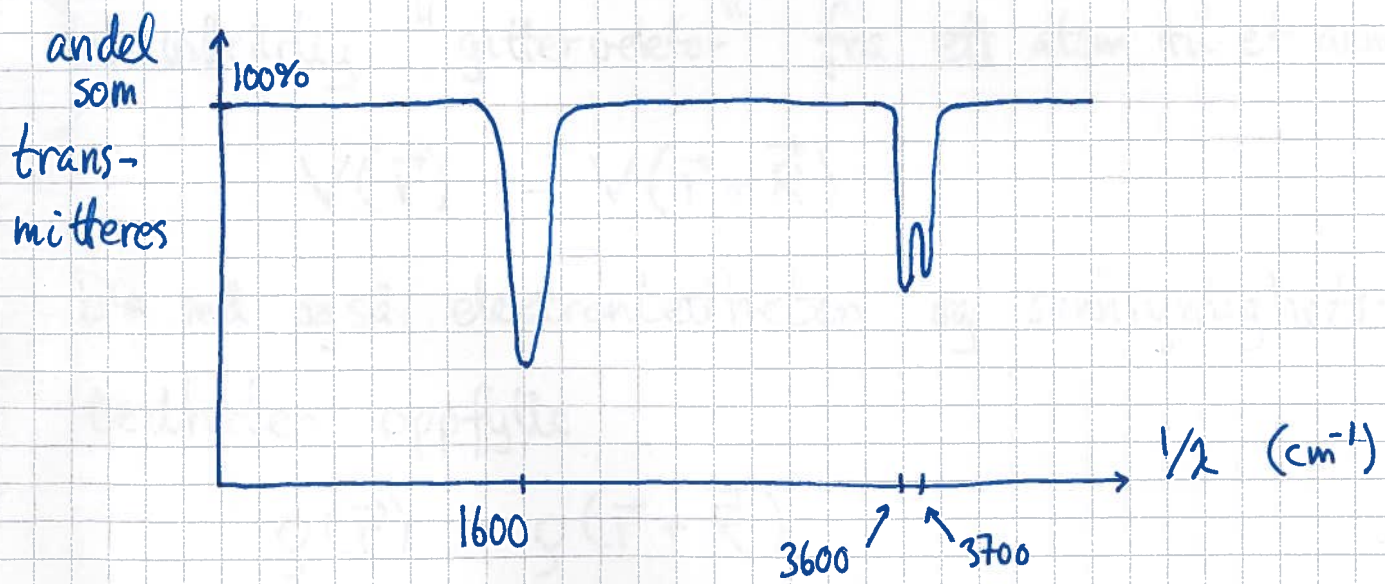
$$\approx 3700 \text{ cm}^{-1}$$

$$\approx 3600 \text{ cm}^{-1}$$

Utværlgsregel ved absorpsjon/emisjon av foton:  $\Delta n = \pm 1$  (90)

Spektroskopi: Send EM-bølger (fotoner) inn mot gass og molekyler. Hvis fotonenenergien til dem "matcher" rotasjons- og/eller vibrasjons-overganger (dvs  $E_l - E_{l-1}$  for rotasjon;  $E_n - E_{n-1}$  for vibrasjon), vil gassen absorbere fotonet. Kan dermed finne ut hva slags molekyler gassen inneholder!

Eks: EM-bølger med "alle mulige" bølgelengder inn mot vanndamp

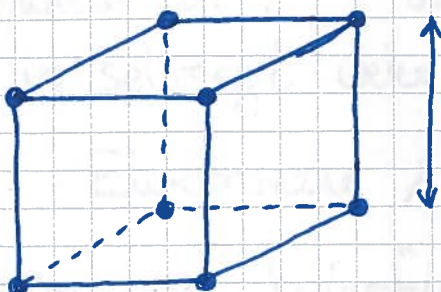


# Faste stoffer : Elektroner i periodisk potensial

(91)

Antar perfekte krystaller med atomene i faste posisjoner i et regulært gitter.

Eks: Enkelt kubisk gitter



I slike krystaller må potensialet være det samme i en posisjon  $\vec{r}$  og en pos.  $\vec{r} + \vec{R}$ , der  $\vec{R}$  er en vilkårlig "gittervektor" fra ett atom til et annet:

$$V(\vec{r}) = V(\vec{r} + \vec{R})$$

Da må også elektronettettheten og sannsynlighets-tettheten oppfylle

$$g(\vec{r}) = g(\vec{r} + \vec{R}),$$

der  $g(\vec{r}) = |\Psi(\vec{r})|$ ;  $\Psi(\vec{r})$  = bølgefunksjon

Må da generelt ha bølgefunksjoner på formen

$$\Psi(\vec{r}) = e^{i\alpha(\vec{r})} \cdot u(\vec{r})$$

med reell  $\alpha(\vec{r})$  og  $u(\vec{r}) = u(\vec{r} + \vec{R})$ .

Dessuten må  $\alpha$  være en dimensjonslös, skalar og lineær funksjon av  $\vec{r}$ , generelt på formen

$$\alpha(\vec{r}) = \vec{k} \cdot \vec{r}$$

[Ikke-lineær  $\alpha(\vec{r}) \Rightarrow$  valg av origo får fysisk betydning, noe vi selvsagt ikke kan ha!]

Dvs: Elektronene i et periodisk potensial

beskrives av bølgefunksjoner på formen

$$\Psi_{\vec{k}}(\vec{r}) = e^{i\vec{k} \cdot \vec{r}} \cdot u_{\vec{k}}(\vec{r})$$

med

$$u_{\vec{k}}(\vec{r} + \vec{R}) = u_{\vec{k}}(\vec{r})$$

Dette er Blochs teorem; en grunnpillar i teorien for faste stoffer!

[Felix Bloch, NP 1952]

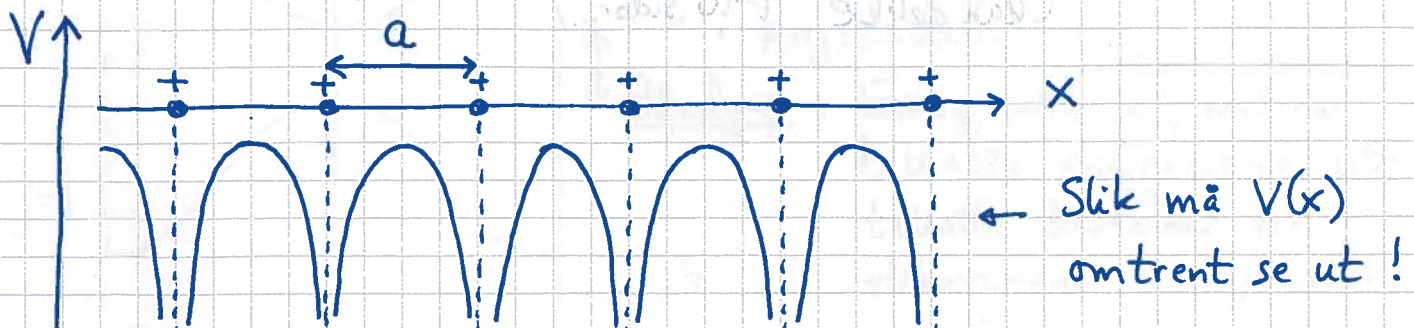
Foreløpig er  $\vec{k}$  kun en "nødvendig parameter",

med enhet  $1/m$ . I mange situasjoner viser

det seg at  $\vec{k}$  representerer elektronets impuls,

$$\text{dvs } \vec{p} = \hbar \vec{k}.$$

Vi forenkler til 1D, og spør oss hva slags løsninger vi nå finner ved å løse TUSL.



$N$  atomer, gitterkonstant  $a$ ;  $N \rightarrow \infty$

$$V(x+a) = V(x)$$

$$\left[ -\frac{\hbar^2}{2m} \frac{d^2}{dx^2} + V(x) \right] \Psi_k(x) = E(k) \Psi_k(x)$$

$$\Psi_k(x) = e^{ikx} u_k(x)$$

TUSL, for gitt  $k$ , gir energi-egenverdier

$E_1(k), E_2(k), E_3(k), \dots$  (som for partikkel i boks)

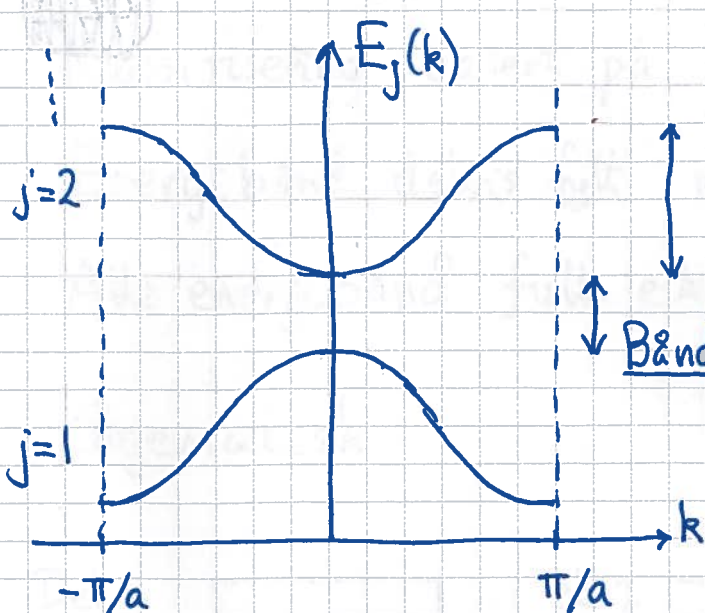
Endring av  $k \Rightarrow$  endrede  $E_j(k)$  ( $j=1, 2, 3, \dots$ )

Med  $N$  atomer er det  $N$  tillatte verdier av  $k$  mellom

$-\pi/a$  og  $+\pi/a$ . Med stor  $N$  ( $N \rightarrow \infty$ ) blir

hver  $E_j(k)$  en kontinuerlig funksjon av  $k$ .

Kan se f.eks. slik ut:



Energibånd med tillatte energier for elektronene i krystallen.

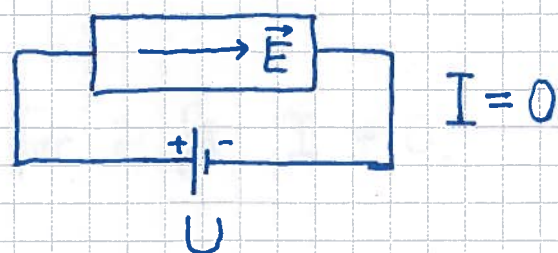
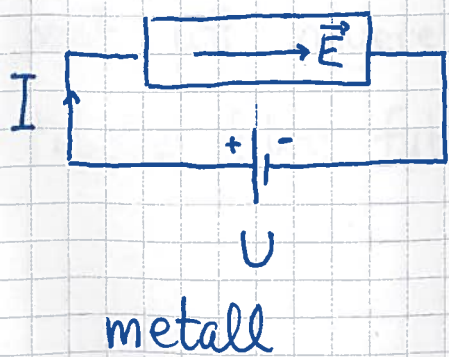
Båndgap: Energicintervall, mellom tillatte energibånd, uten tillatte tilstander for elektronene i krystallen.

Krystallenens grunntilstand: Vi okkuperer tilstander, med to elektroner i hver (romlige) tilstand, i tråd med Pauliprinsippet, og fra lavest mulig energi og oppover.

Metall, isolator eller halvleder?

Empirisk:

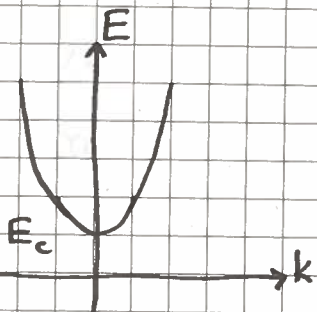
Metall hvis lite el. felt  $\vec{E}$  gir strøm I.



ikke-metall (isolator)

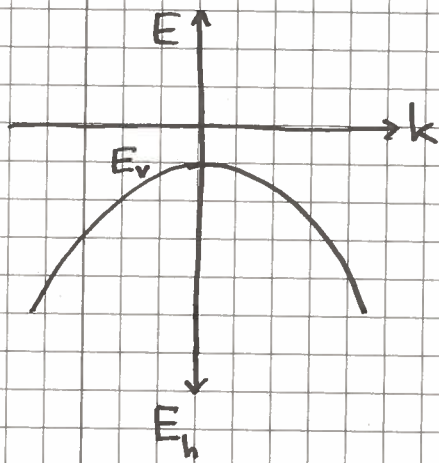
## Effektiv masse

- Nær båndkantene, dvs bunnen av ledningsbåndet og toppen av valensbåndet, er  $E(k)$  med god tilnærming kvadratisk i  $k$ :



$$E(k) = E_c + \frac{\hbar^2 k^2}{2m_e^*} = \text{elektronenergi i ledningsbåndet}$$

Elektronets effektive masse  $m_e^*$  gitt ved invers krumning:  $m_e^* = \hbar^2 \left[ \frac{d^2 E}{dk^2} \right]^{-1} > 0$



$$E(k) = E_v - \frac{\hbar^2 k^2}{2m_h^*} = \text{elektronenergi i valensbåndet; positiv oppover}$$

$$\Rightarrow E_h(k) = E_v - \frac{\hbar^2 k^2}{2m_h^*} = \text{hullenergi i valensbåndet; positiv nedover}$$

Hulletts effektive masse  $m_h^*$  gitt ved invers krumning:

$$m_h^* = \hbar^2 \left[ \frac{d^2 E_h}{dk^2} \right]^{-1} > 0$$

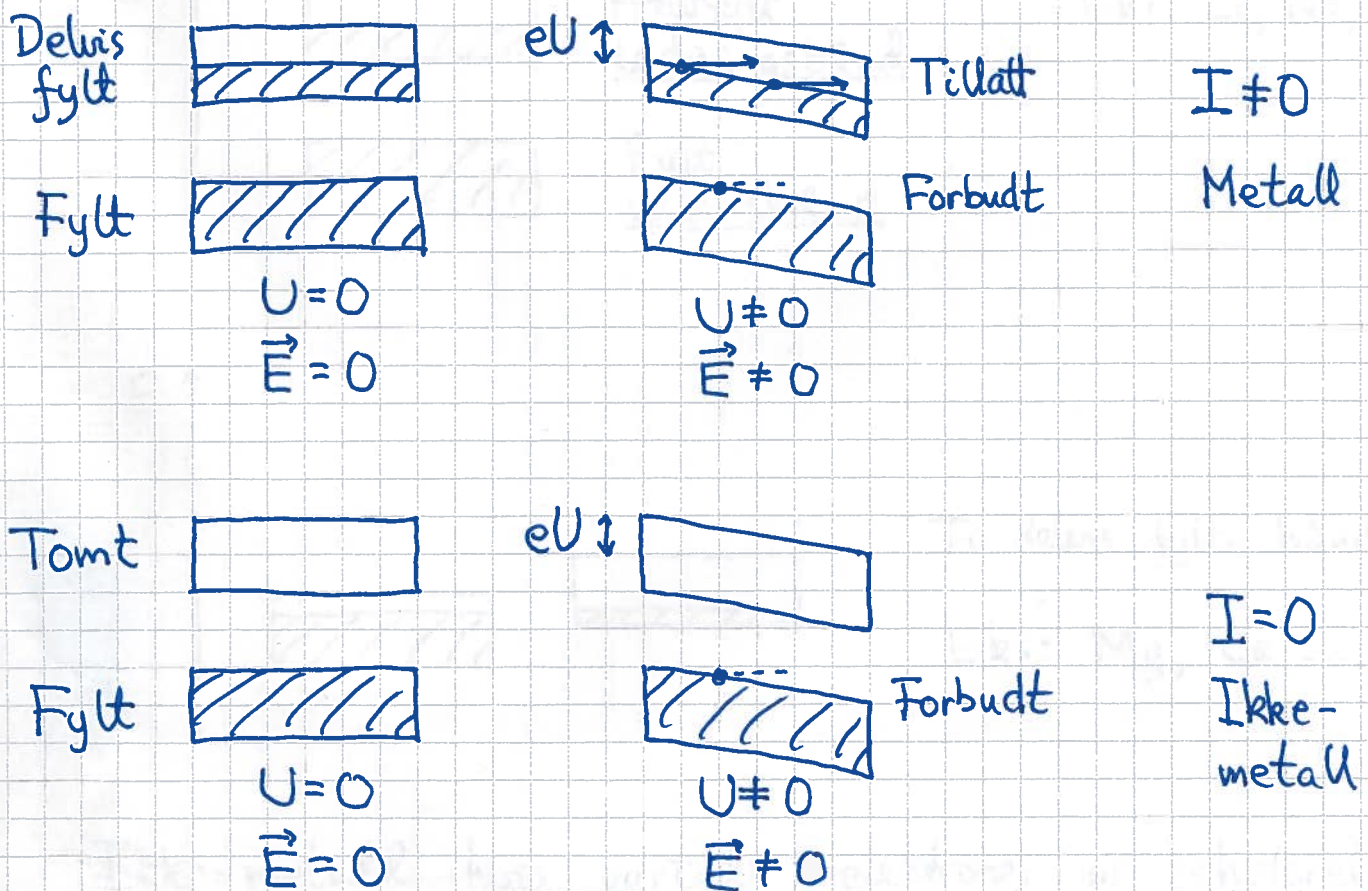
- Partikklene (elektronene og hullene) beskrives av båndstruktur ( $E(k)$  og  $E_h(k)$ ) nær båndkantene som er "frí-partikkel-lignende", men de er ikke frie partikler: Det periodiske potensialet påvirker partikklene på en slik måte at de effektivt oppfører seg som om de har masse forstørrelig fra  $m_e = 9 \cdot 10^{-31} \text{ kg}$ . Typisk er  $m^* \sim 0.1 m_e$ .

Klassifisering basert på båndstruktur:

Energibånd delvis fylt med elektroner: Metall

Alle energibånd fulle eller tomme: Ikke-metall

Skjematisk:

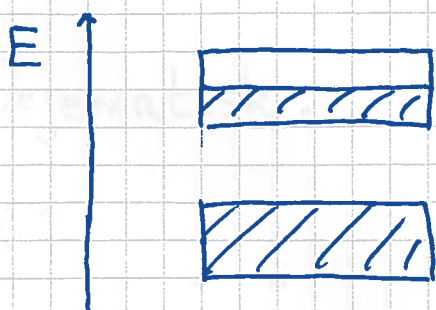


$\vec{E}$  kan bare gi elektroner økt kinetisk energi, og dermed strøm  $I$ , dersom det er ledige tilstander med litt høyere energi.

Må ha delvis fylt(e) bånd for å få  $I \neq 0$ .

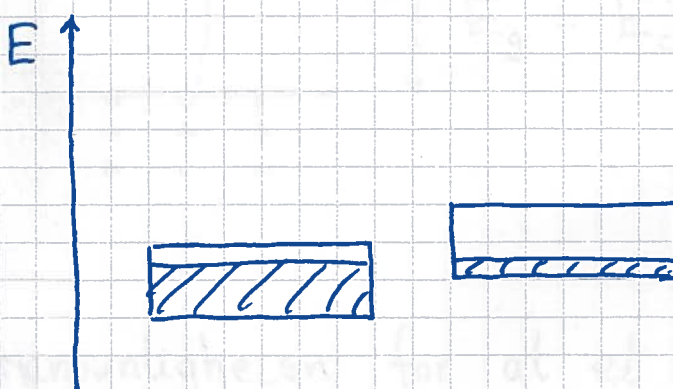
Med  $N$  enhetsceller har vi  $2N$  tilstander pr energibånd (faktor 2 pga spinn  $\uparrow$  eller  $\downarrow$ ).

$\Rightarrow$  Metall hvis oddetall elektroner pr enhetscelle (evt. overlappende energibånd) :



Halvfullt  
ledningsbånd

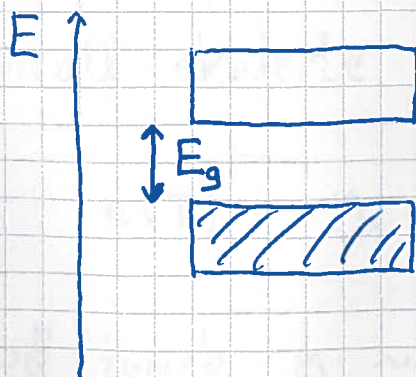
Eks: Li, Na, ...



To delvis fylte bånd.

Eks: Mg, Ca, ...

Ikke-metall hvis partall elektroner pr enhetscelle (uten overlappende bånd) :



Tomt  
ledningsbånd

Eks: C, Si, Ge, ...

Fylt  
valensbånd

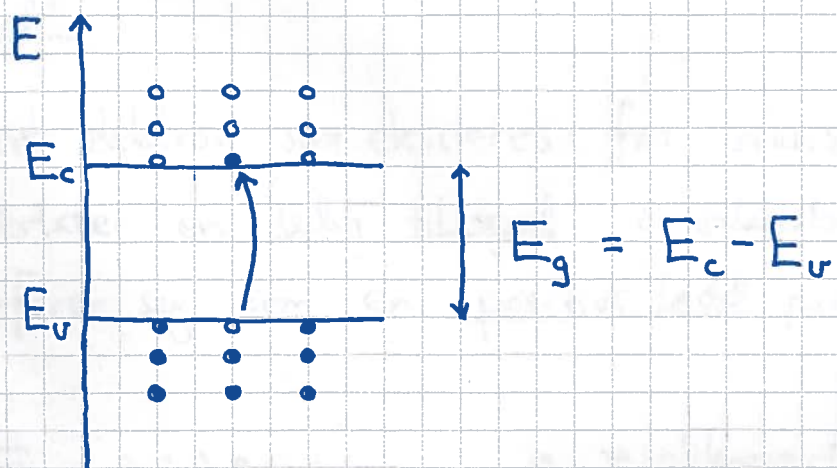
Størrelsen på båndgapet,  $E_g$ , avgjør om vi har isolator eller halvleder.

# Halvledere

T = 0 : isolator

T = 300 K : en andel av elektronene er termisk eksistert fra toppen av valensbåndet til ledige tilstander ved bunnen av ledningsbåndet

Skjematisk :



Sannsynligheten for at et gitt elektron er eksistert fra  $E_v$  (toppen av valensbåndet) til (bunnen av ledningsbåndet)  $E_c$  ved temperatur  $T$ :

$$e^{-E_g/2k_B T}$$

Antall eksisterte elektroner pr volumenhett:

$$n(T) = n_0 e^{-E_g/2k_B T}$$

med typisk  $n_0 \sim 10^{26}$  pr  $m^3$

Eks: Gruppe IV (eut. 14<sup>2</sup>), ved 300 K

G (diamant):  $E_g = 5.47 \text{ eV} \Rightarrow n = 0 \Rightarrow$  isolator

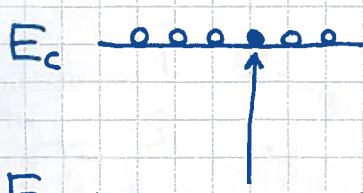
Si:  $E_g = 1.12 \text{ eV} \Rightarrow n \approx 10^{16} \text{ m}^{-3} \Rightarrow$  halvleder

Ge:  $E_g = 0.67 \text{ eV} \Rightarrow n \approx 10^{20} \text{ m}^{-3} \Rightarrow -\text{--}$

Betegnes halvleder dersom  $E_g \lesssim 3 \text{ eV}$ .

## Hull

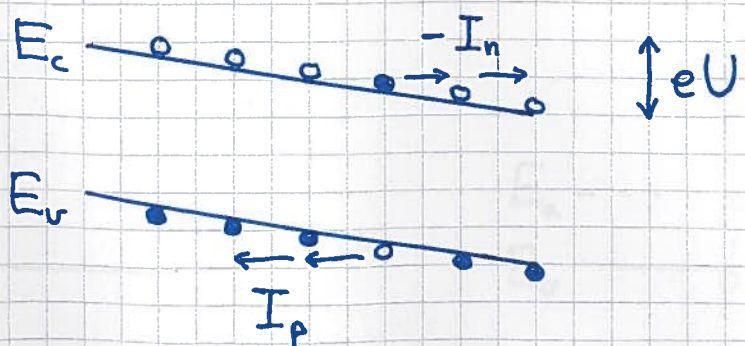
Hvert elektron som eksiteres fra valens- til ledningsbåndet etterlader en ledig tilstand i valensbåndet; denne oppfører seg som en positivt ladd partikkel; kallas et hull.



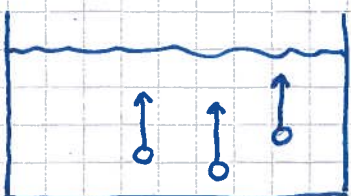
• = okkupert tilstand (elektron)

○ = ledig tilstand (hull)

Påtrykt spenning U gir nå strøm av elektroner ( $I_n$ ) og hull ( $I_p$ ):



Analogi:  
Gassbobler i vann

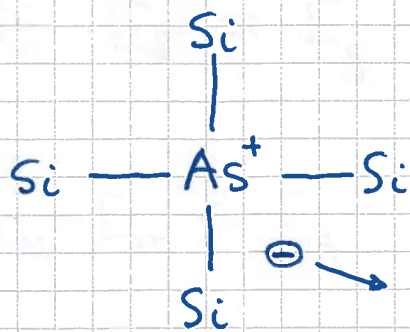


Gass opp  $\hat{=}$   
Vann ned

Total strøm:  $I = I_n + I_p$

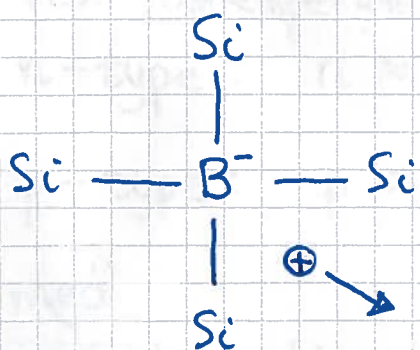
## Doping av halvledere

n-type Si : Noen Si erstattes av As (eut P), som har 5 valenselektroner, mot 4 i Si.



"Det femte" valenselektronet i As frigjøres lett og etterlaster  $\text{As}^+$

p-type Si : Noen Si erstattes av B (eut Al), som har 3 valenselektroner, mot 4 i Si.



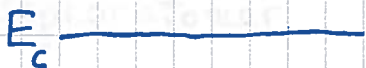
B "plukker opp" ett elektron fra valensbåndet i Si ( $\Rightarrow \text{B}^-$ ), etterlader et hull som frigjøres lett

Energidiagram :

n-type



p-type



$E_d$  = donornivå = energi til 5. valenselektron i As 100

$E_a$  = akseptornivå = energi til ledig tilstand i B

$E_c - E_d \ll E_g \Rightarrow$  Mye lettere å frigjøre elektron fra As enn å eksitere ett fra  $E_v$  til  $E_c$

$E_a - E_v \ll E_g \Rightarrow$  Mye lettere å skape hull i valensbåndet ved å eksitere elektron fra  $E_v$  til  $E_a$ , enn å eksitere fra  $E_v$  til  $E_c$

Ved romtemperatur:

n-type:  $n \approx N_d \gg p \Rightarrow I \approx I_n$

p-type:  $p \approx N_a \gg n \Rightarrow I \approx I_p$

med

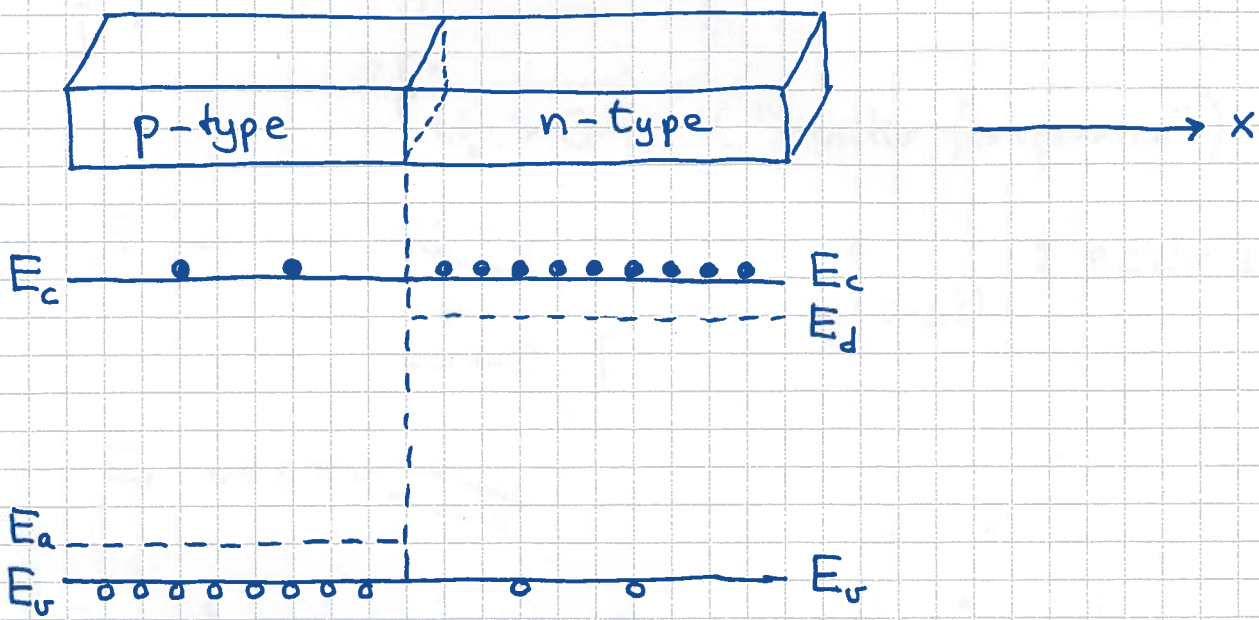
$n$  = konsentrasjon av elektroner i ledningsbåndet

$p$  =  $\text{---} \parallel \text{---}$  hull i valensbåndet

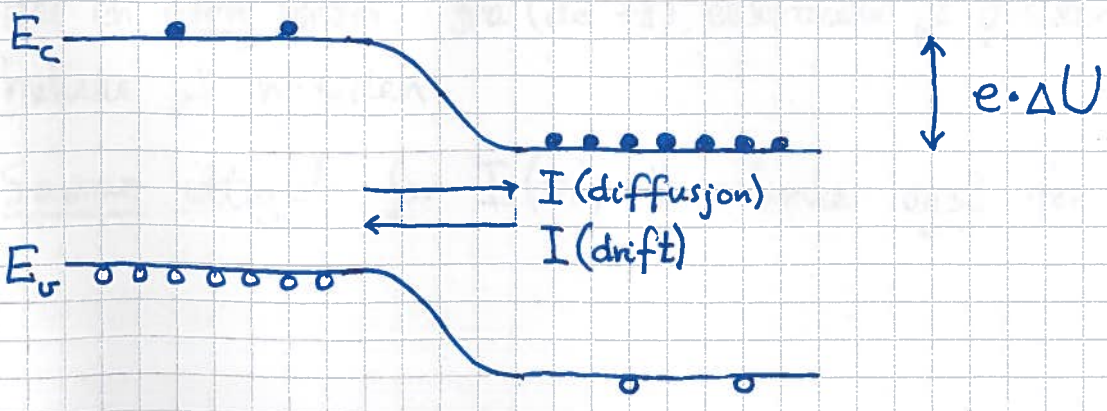
$N_d$  =  $\text{---} \parallel \text{---}$  donoratomer (f.eks. As)

$N_a$  =  $\text{---} \parallel \text{---}$  akseptoratomer (f.eks. B)

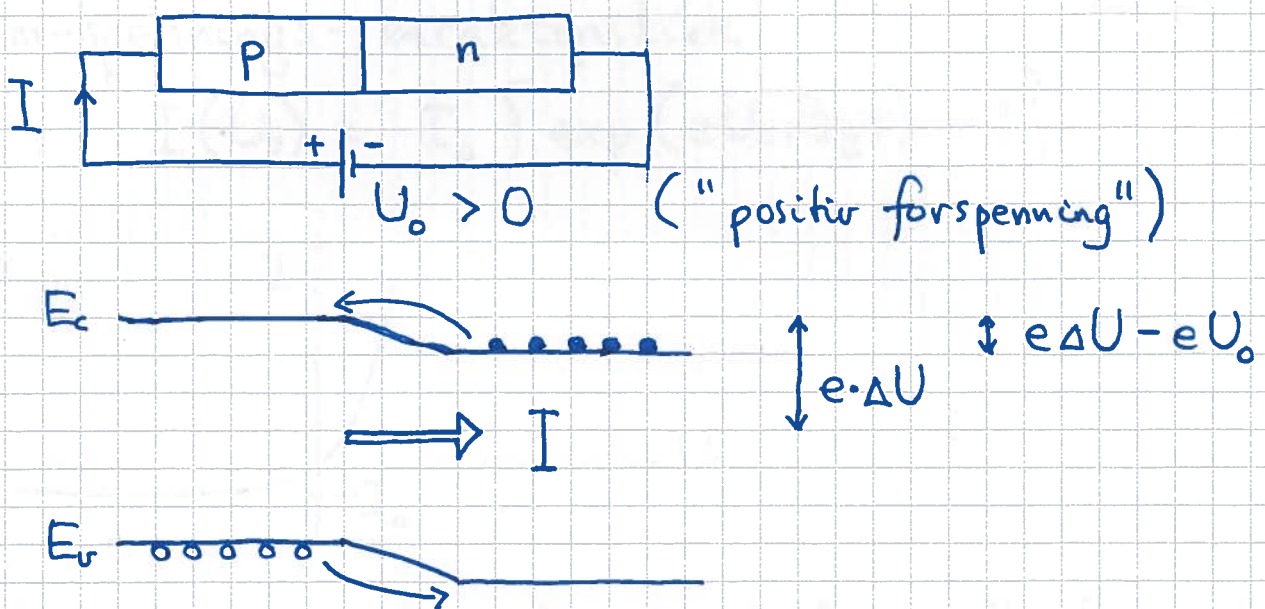
## pn-overgangen (dioden!)



- ⇒ Får en diffusjonsstrøm av elektroner fra n til p og hull fra p til n.
- Gir negativt ladet p-side og positivt ladet n-side.
- Gir "innbygd" elektisk felt  $\vec{E}$  og potensial  $U(x)$ , med  $\vec{E} = -\hat{x} \frac{dU}{dx}$ ;  $\vec{E}$  fra n-siden mot p-siden
- Får en driftsstrøm pga  $\vec{E}$
- Likvekt når  $I(\text{diffusjon}) + I(\text{drift}) = 0$
- Energibånd i likevekt:



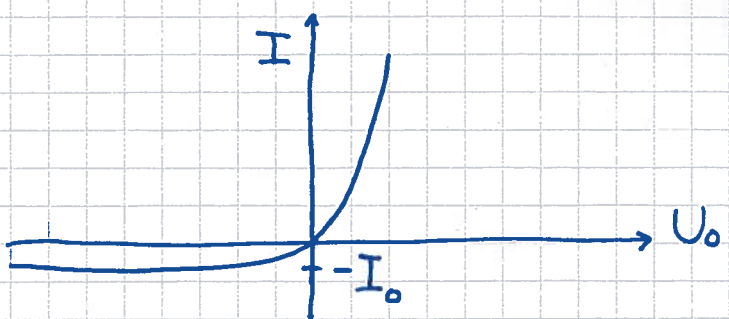
Vi kobler til en spenningskilde  $U_0$ :



- $U_0 > 0$  reduserer energibarrieren som hindrer strømmen, fra  $e\Delta U$  til  $e\Delta U - eU_0$ .
- Strømmen øker proporsjonalt med Boltzmann-faktoren  $\exp\{-(-eU_0)/k_B T\} = \exp\{eU_0/k_B T\}$
- Likevekt, dvs  $I=0$ , hvis  $U_0 = 0$ .
- Dermed må  $I(U_0)$  være på formen
$$I(U_0) = I_0 \{ \exp(eU_0/k_B T) - 1 \}$$
- Hvis  $U_0 < 0$  ("negativ forspenning") øker energibarrieren med  $e|U_0|$ , dvs fra  $e\Delta U$  til  $e\Delta U + e|U_0|$
- Får en liten strøm, fra (de få) elektronene på p-siden og (de få) hullene på n-siden
- Samme uttrykk for  $I(U_0)$  kan brukes også for  $U_0 < 0$

Vi har et mytt kretselement - dioden - med strøm-spennings-karakteristikk

$$I(U_0) = I_0 \{ \exp(eU_0/k_B T) - 1 \}$$



Fungerer som en lakeretter: Leder godt fra p til n, leder dårlig fra n til p.

Kretssymbol:



Selv grunnlaget for moderne elektronikk!

Mye mer om dette i FY6018 etter jul!

